

Fig. 1 (PRIOR ART)

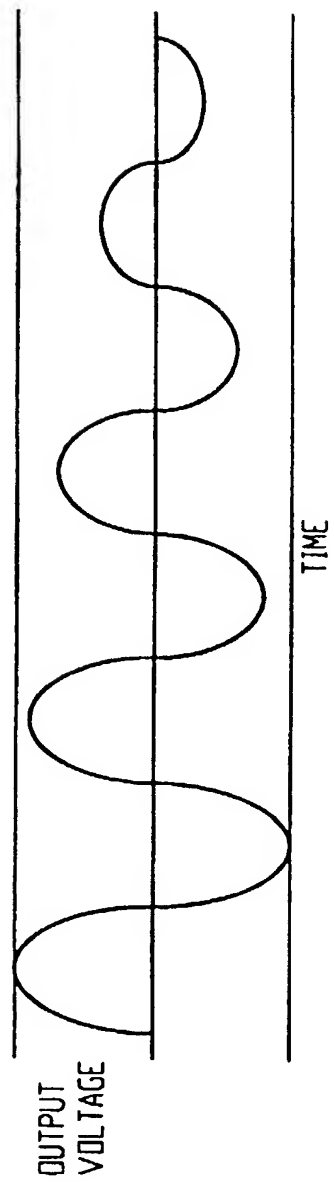


Fig. 3

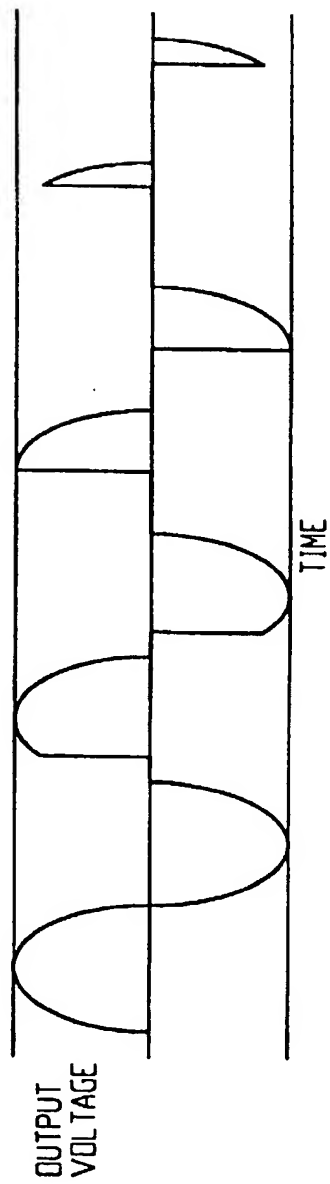


Fig. 2

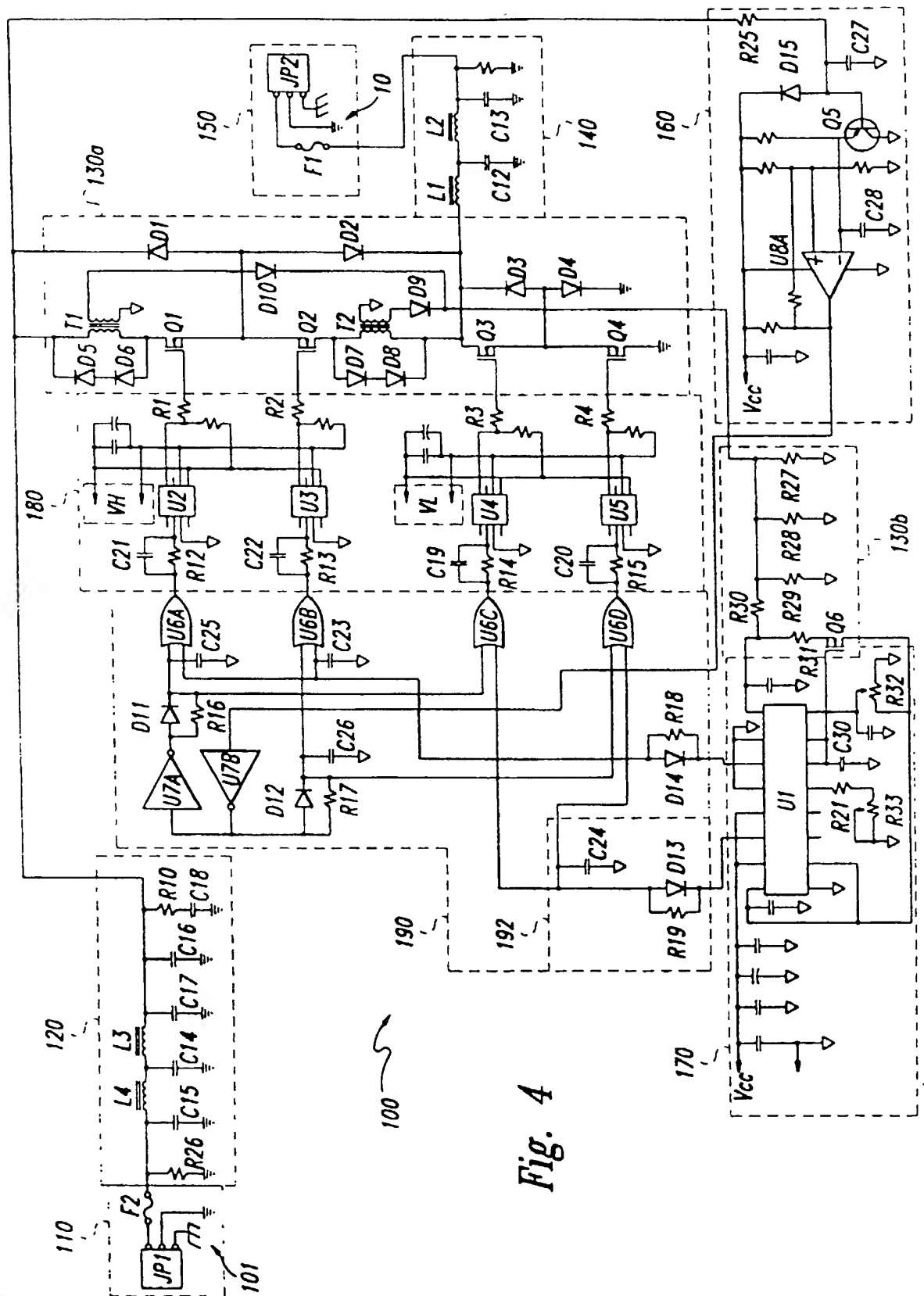


Fig. 4

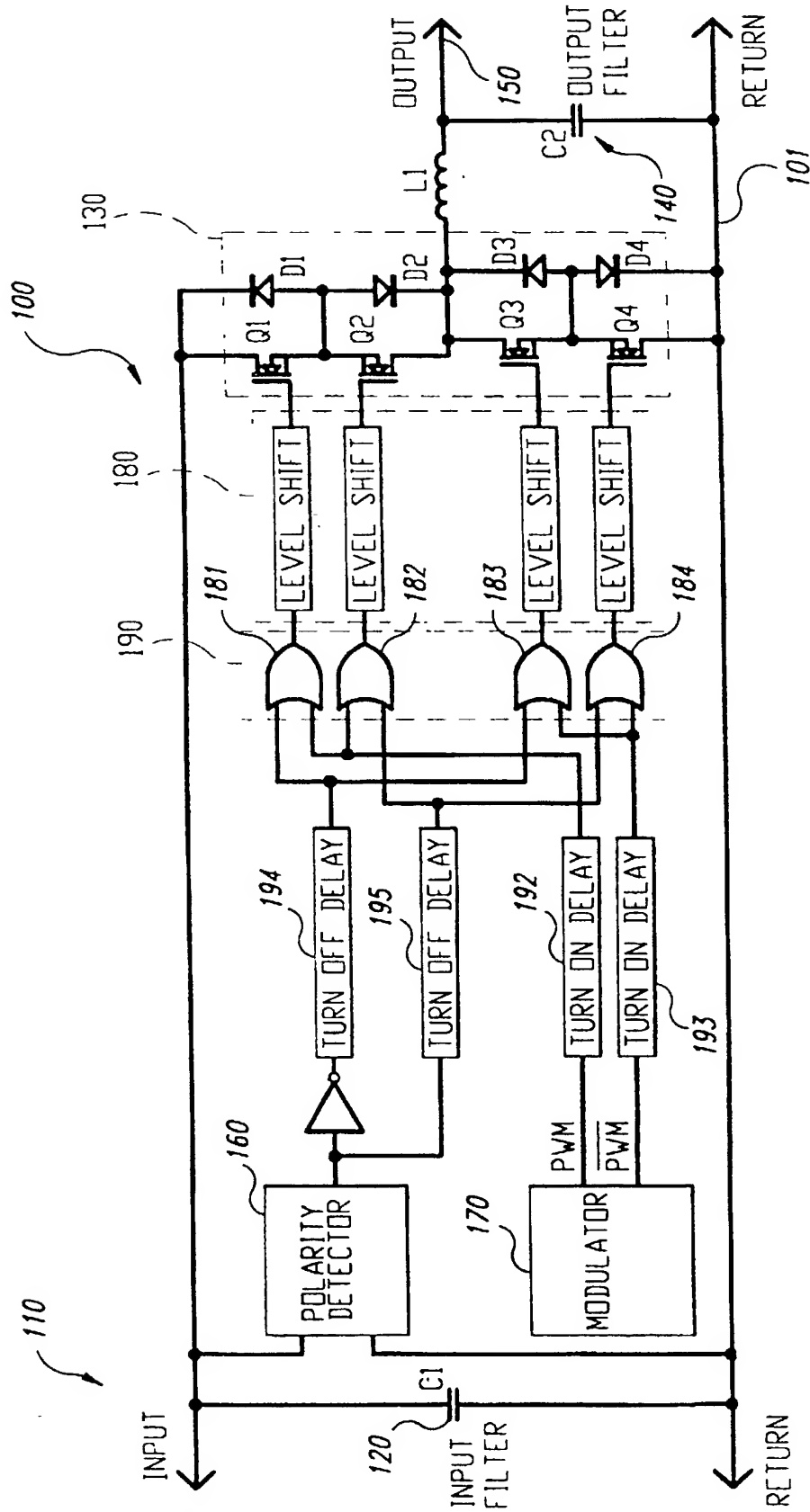


Fig. 5

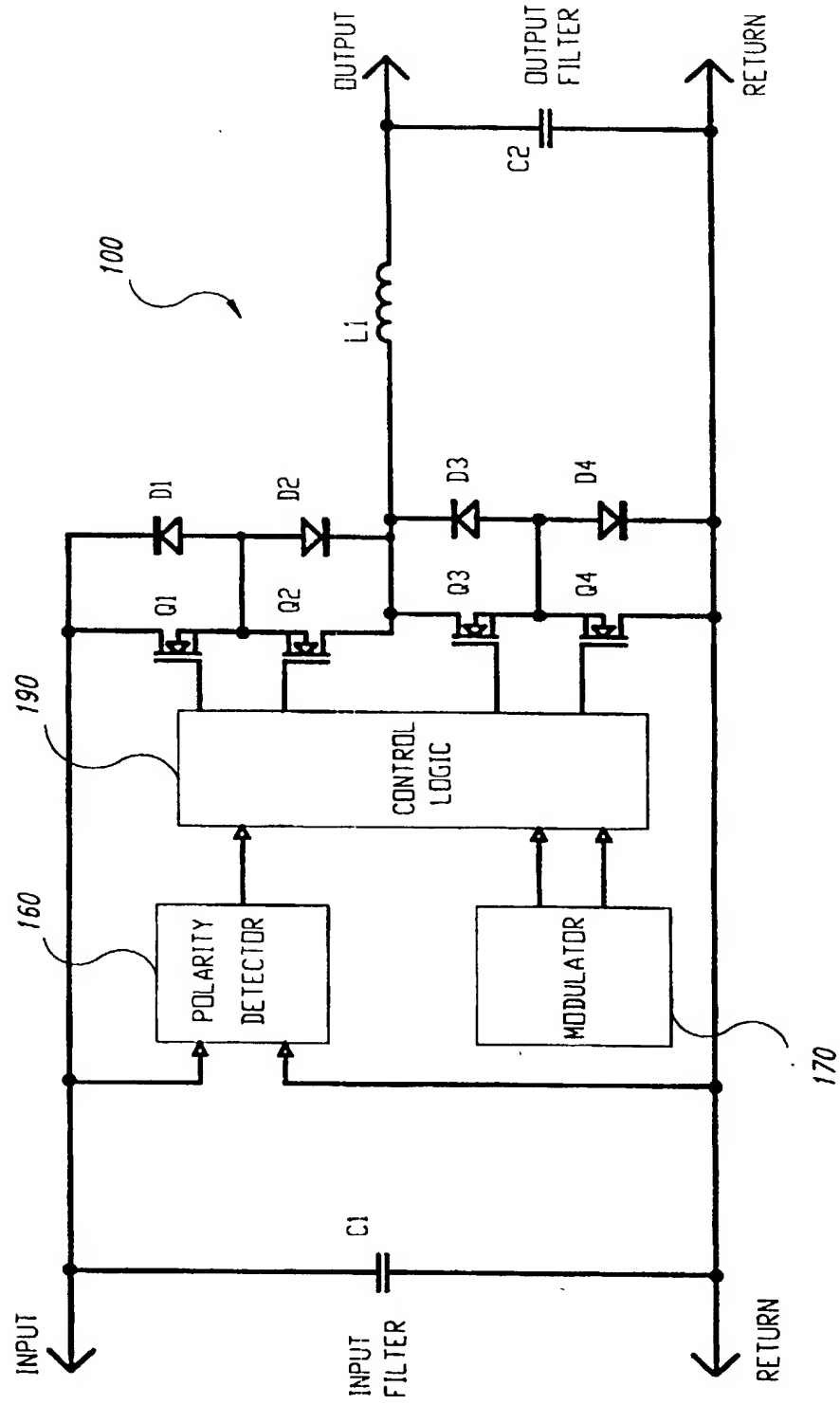


Fig. 6A

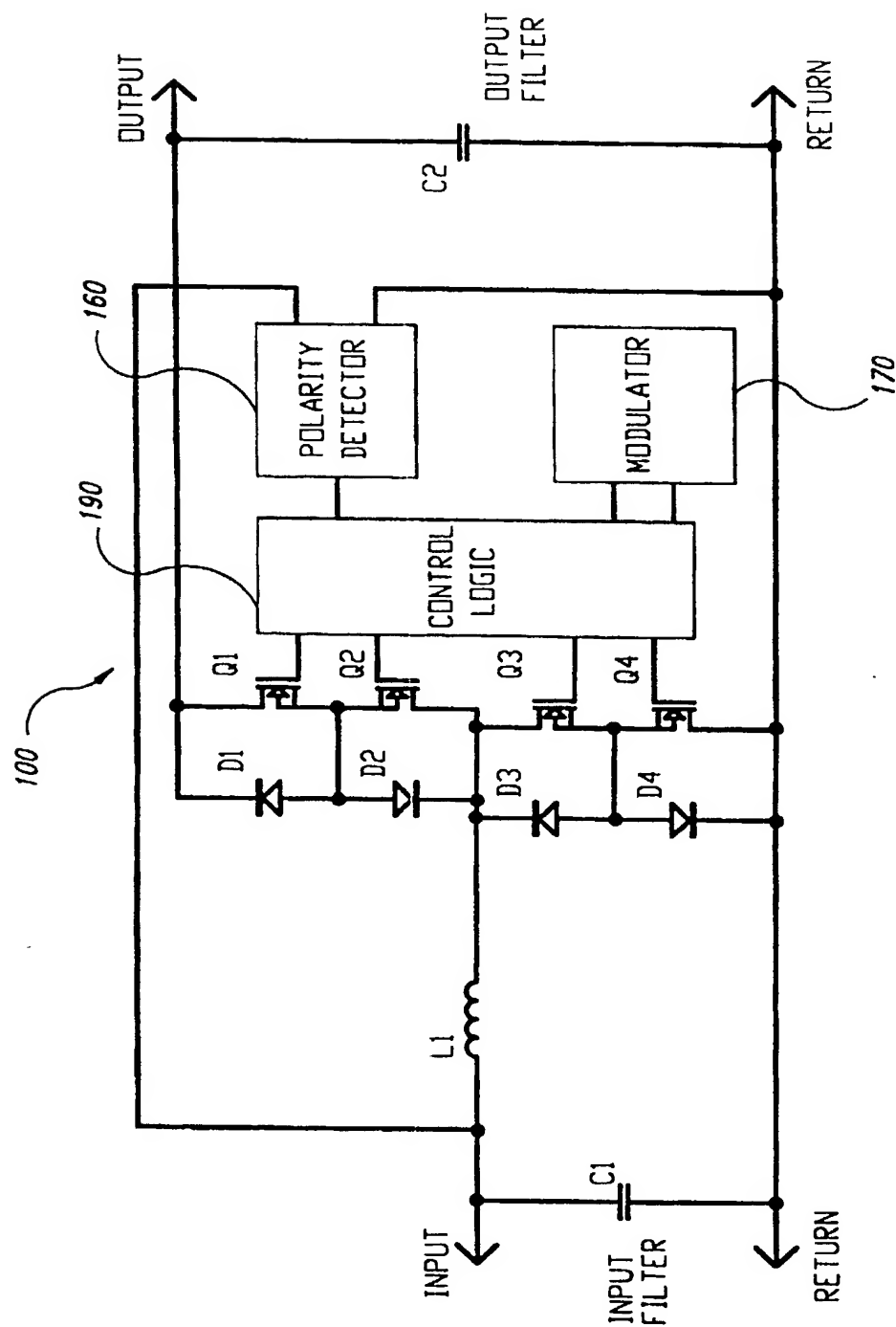


Fig. 6B

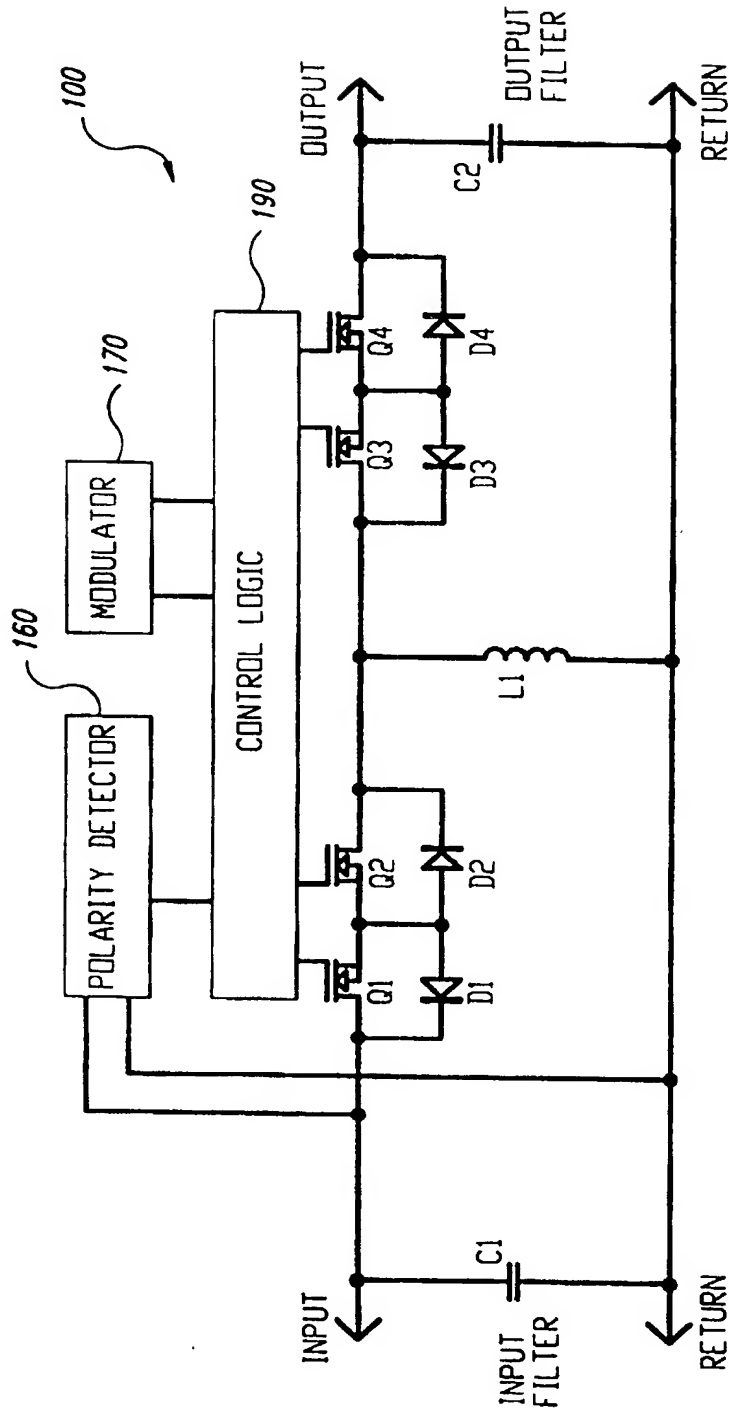


Fig. 6C

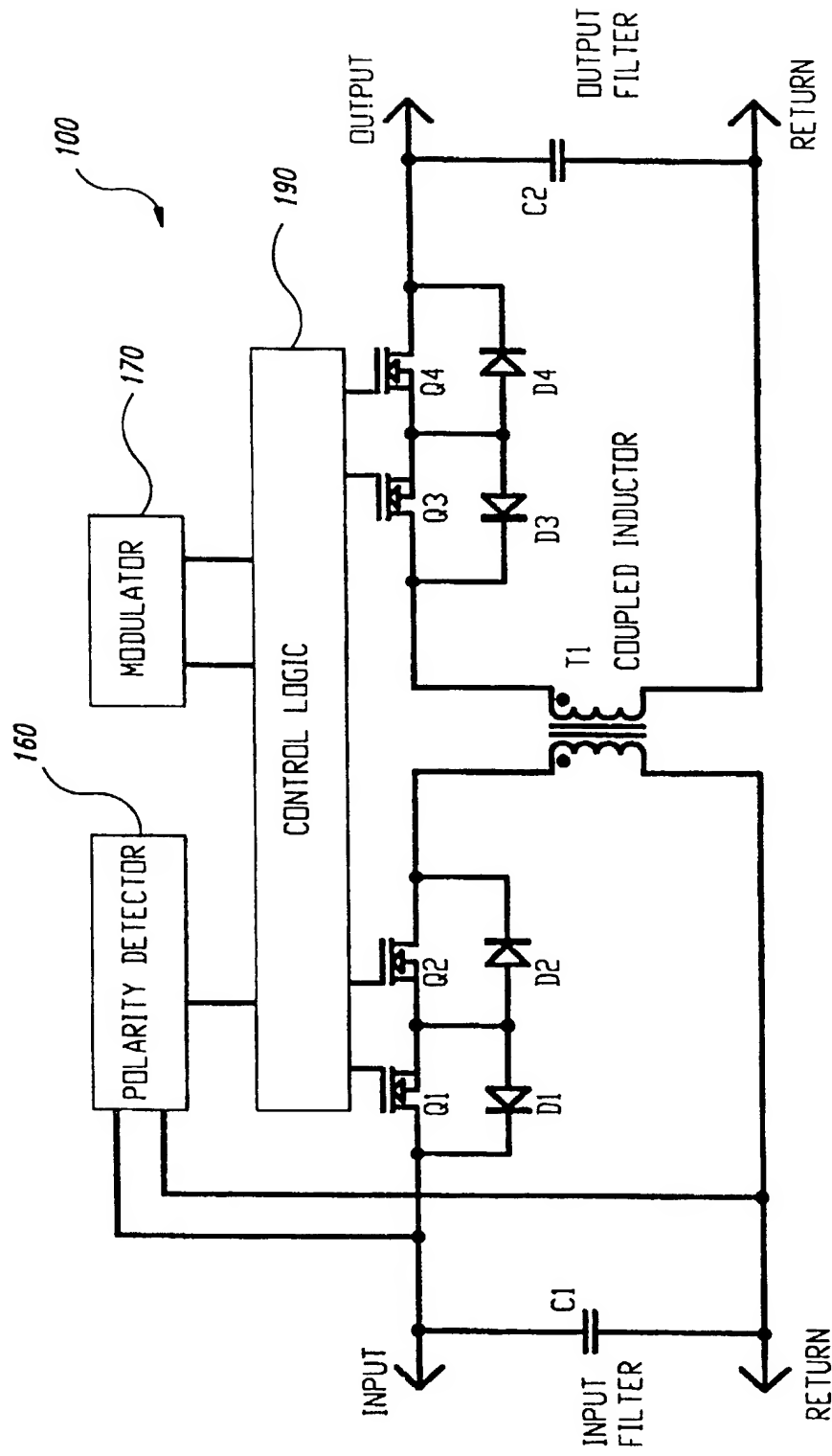


Fig. 6D

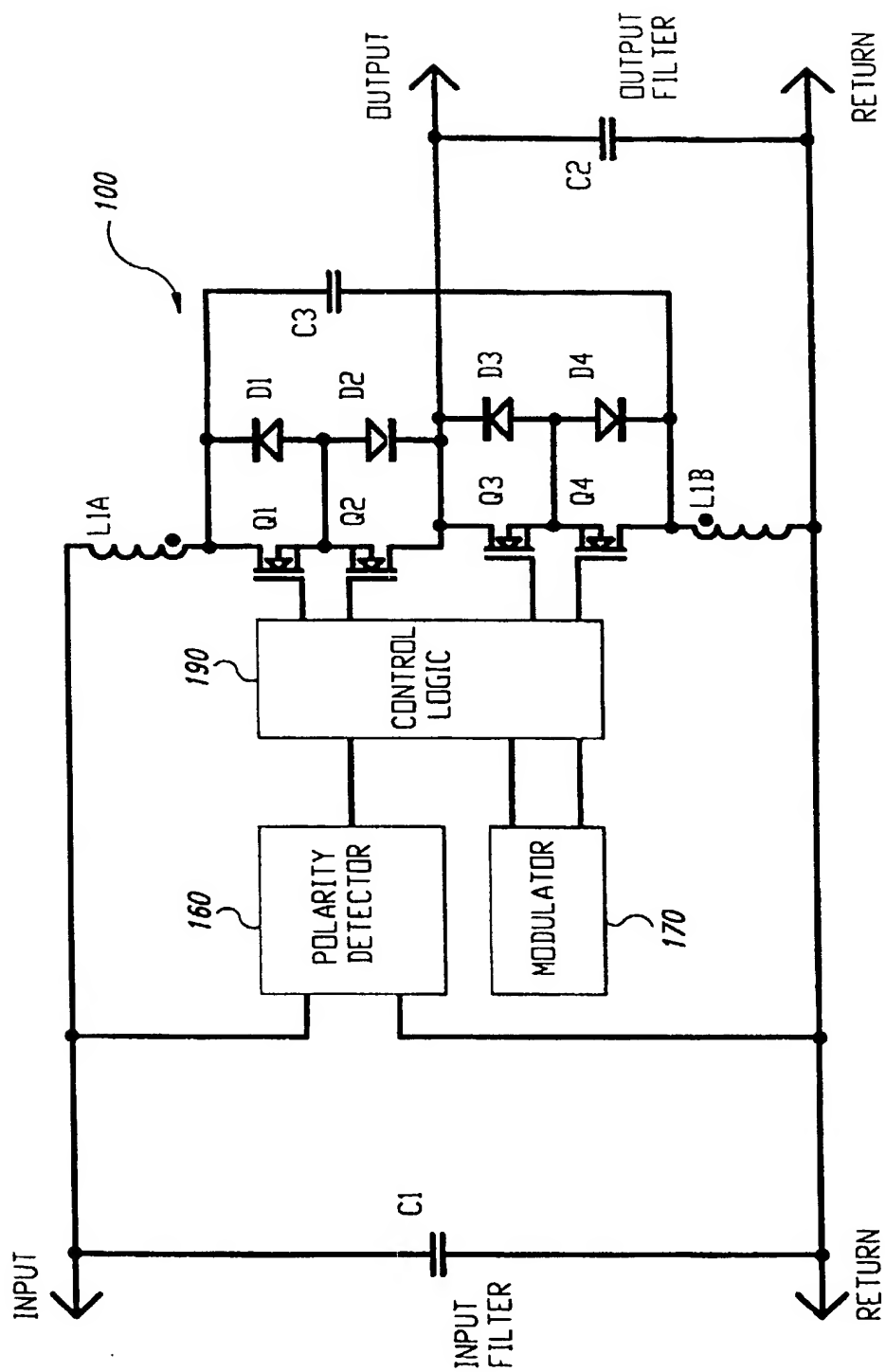


Fig. 7A

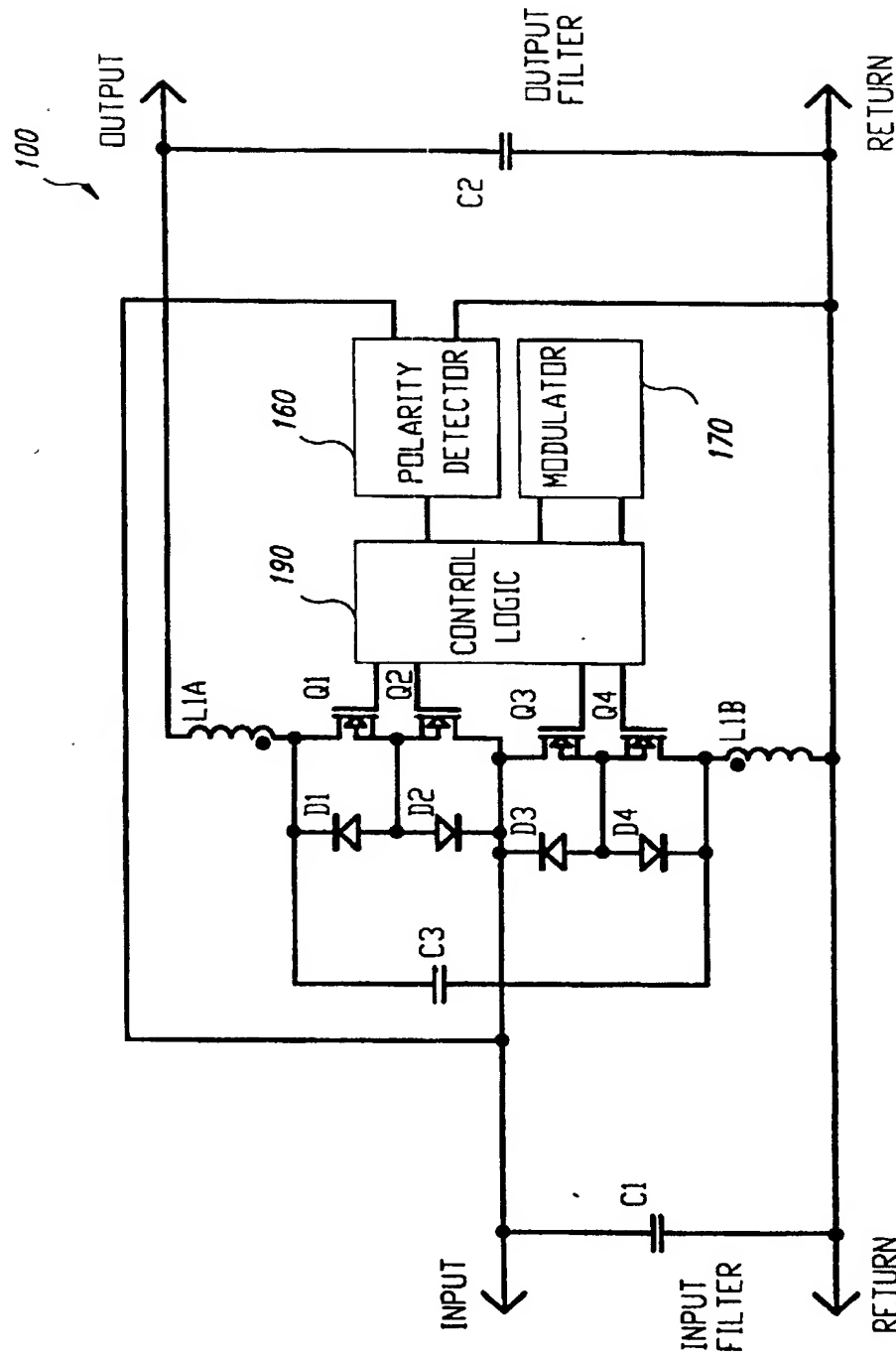


Fig. 7B

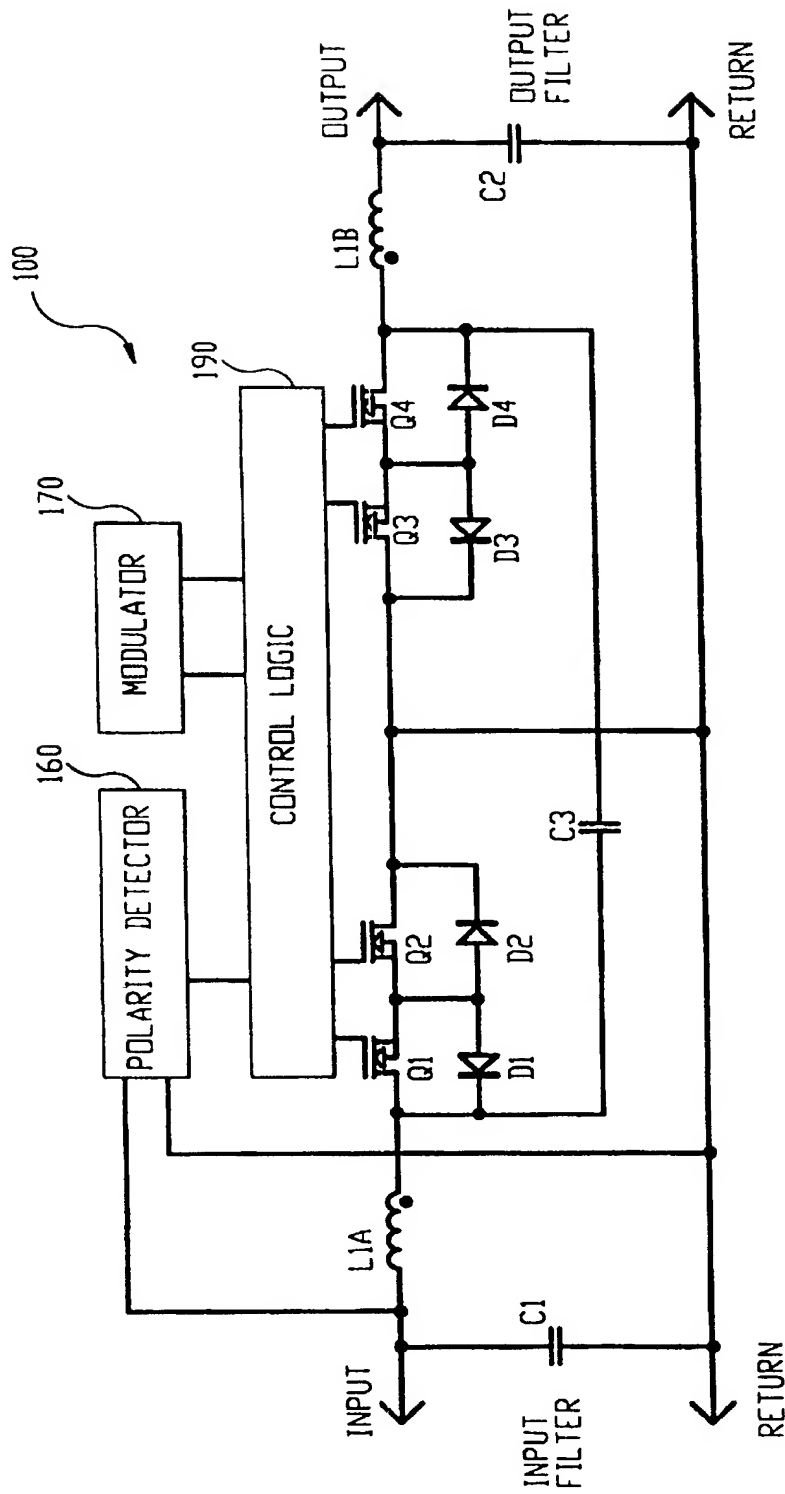


Fig. 7C

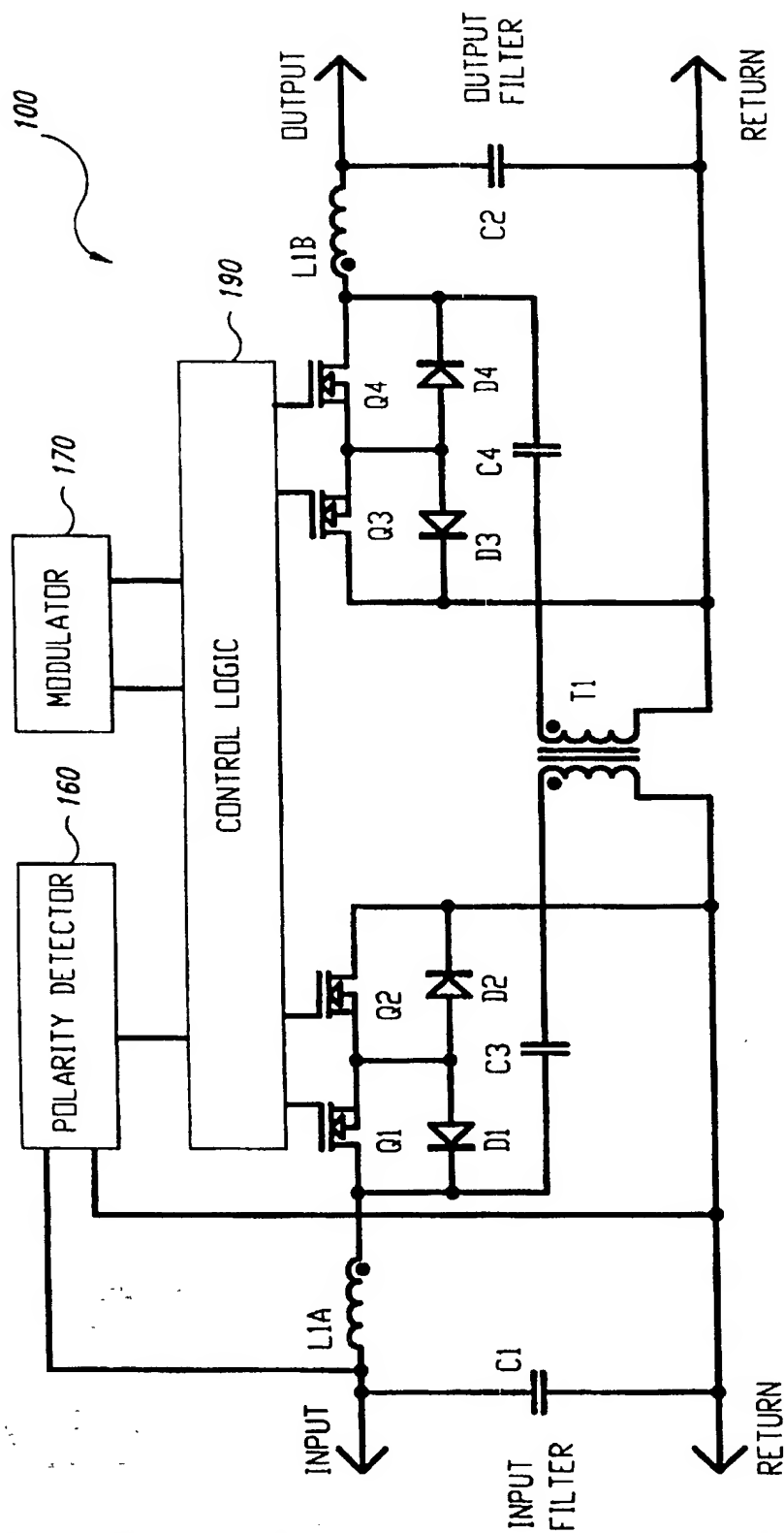


Fig. 7D

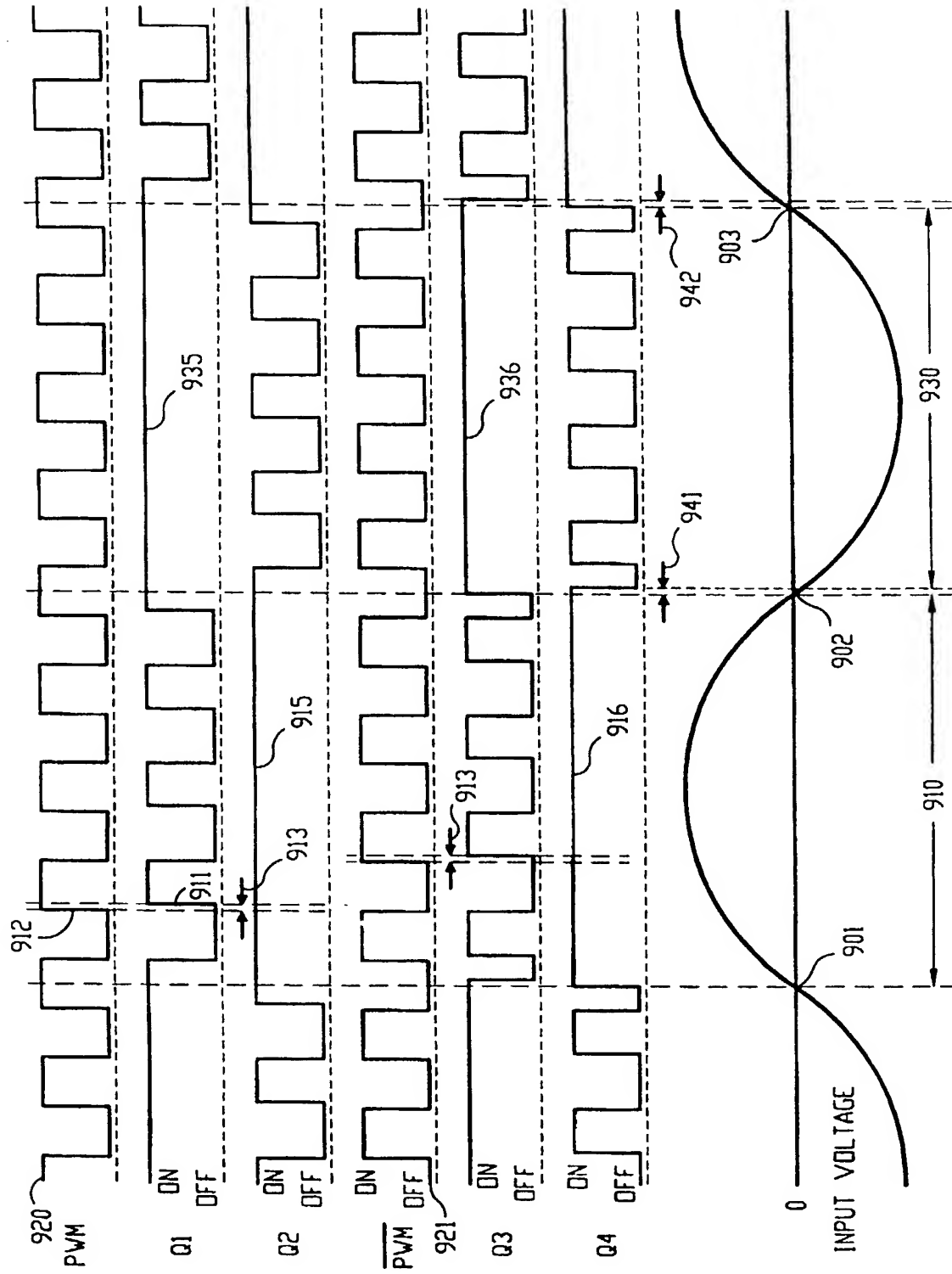


Fig. 8

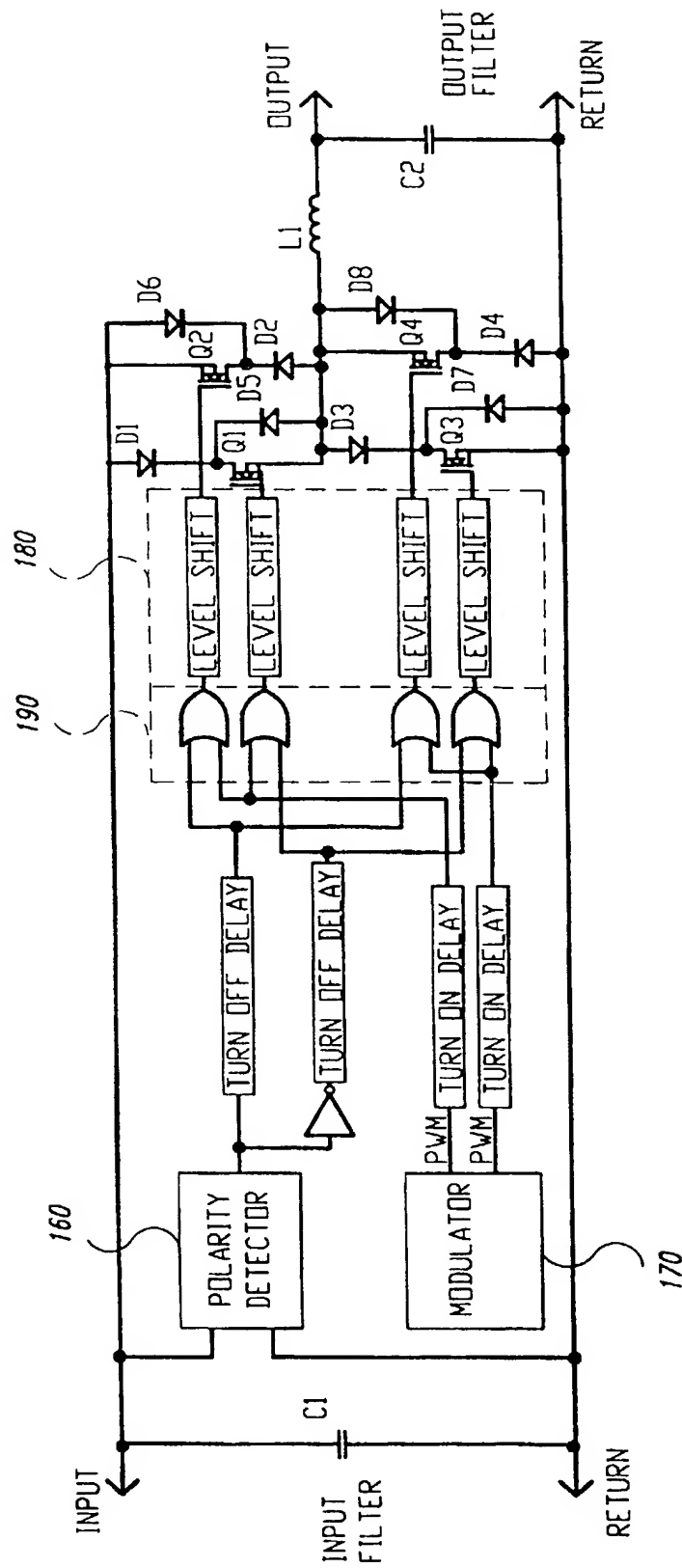


Fig. 9

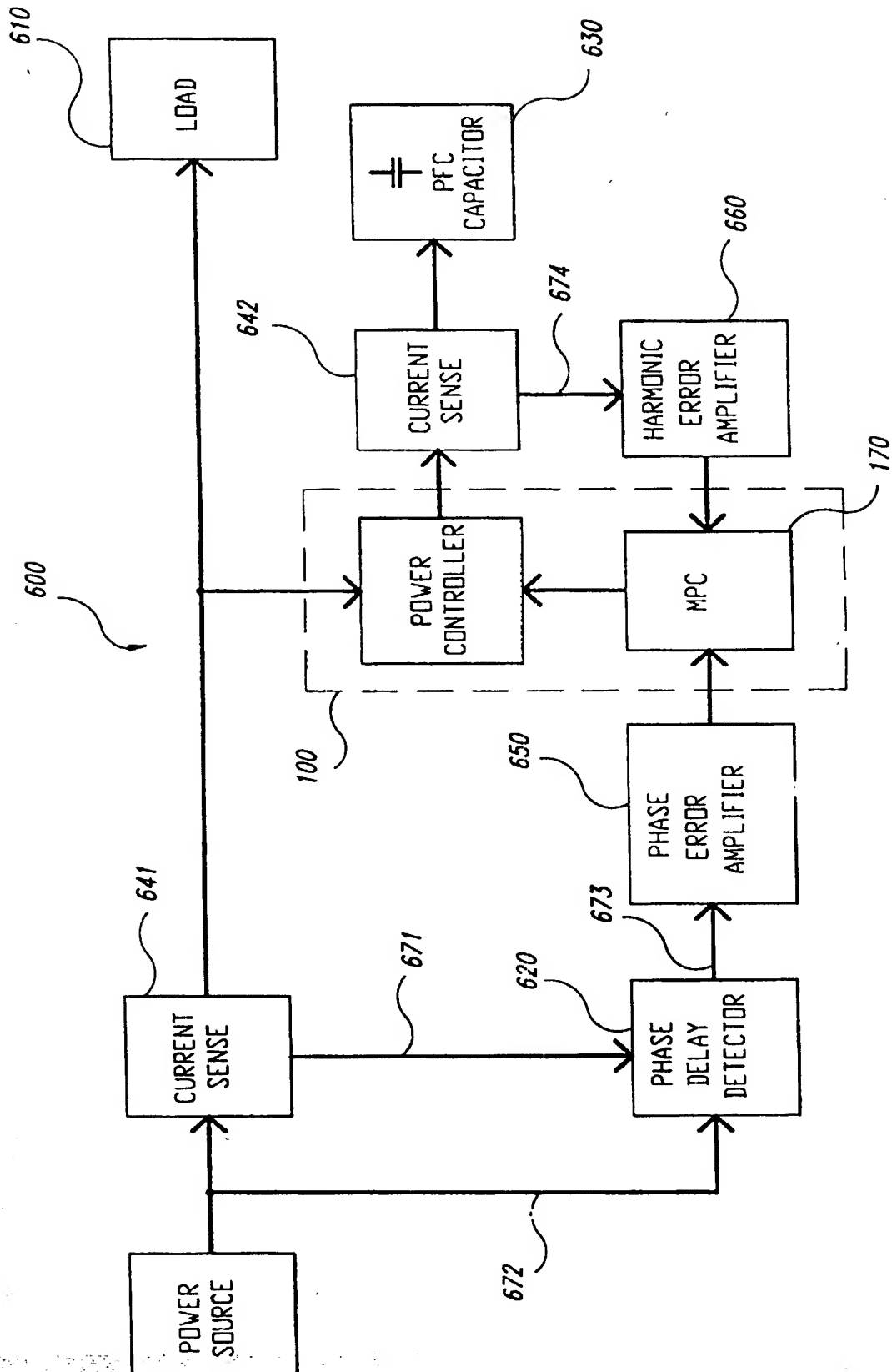


Fig. 10

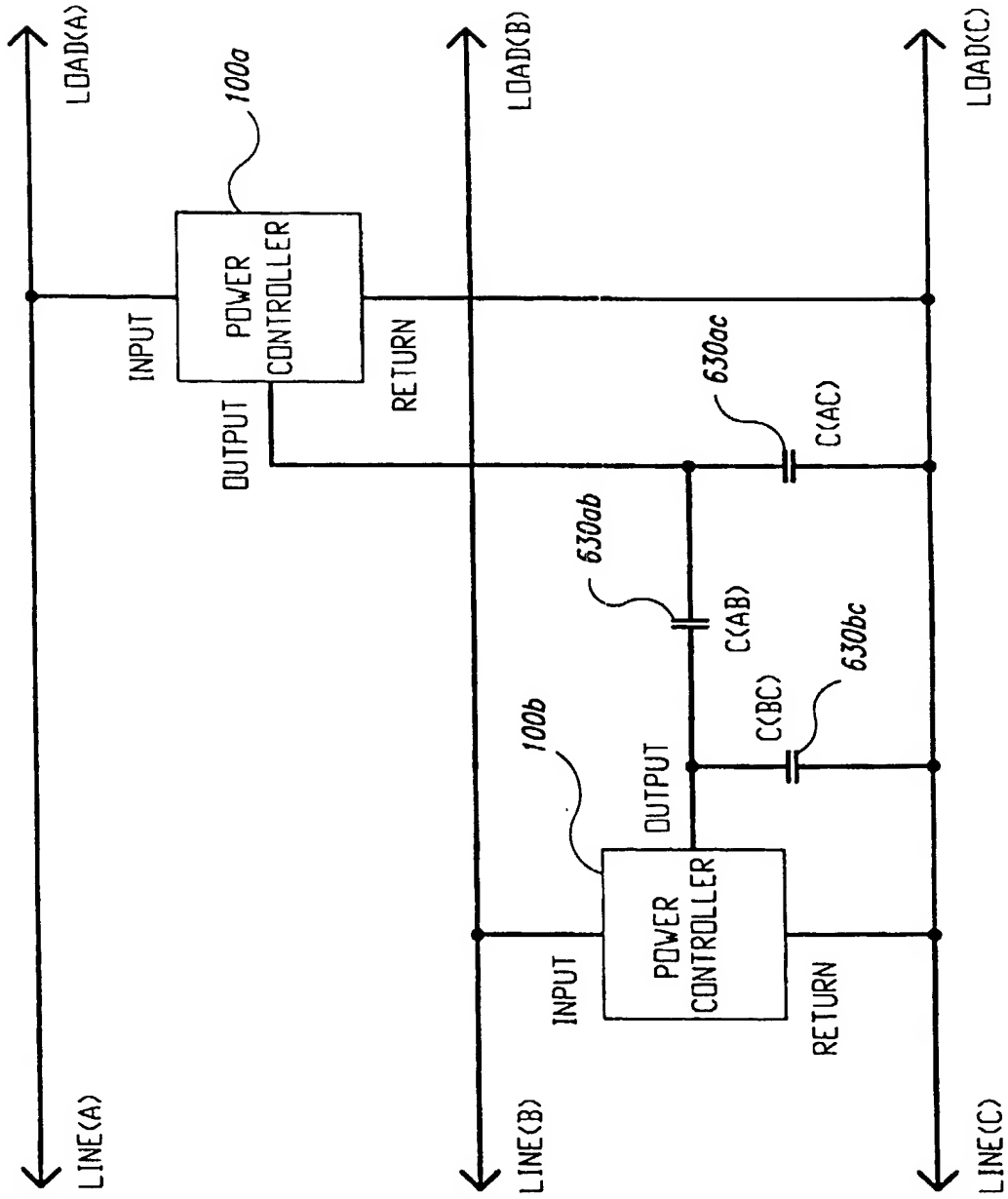


Fig. 11

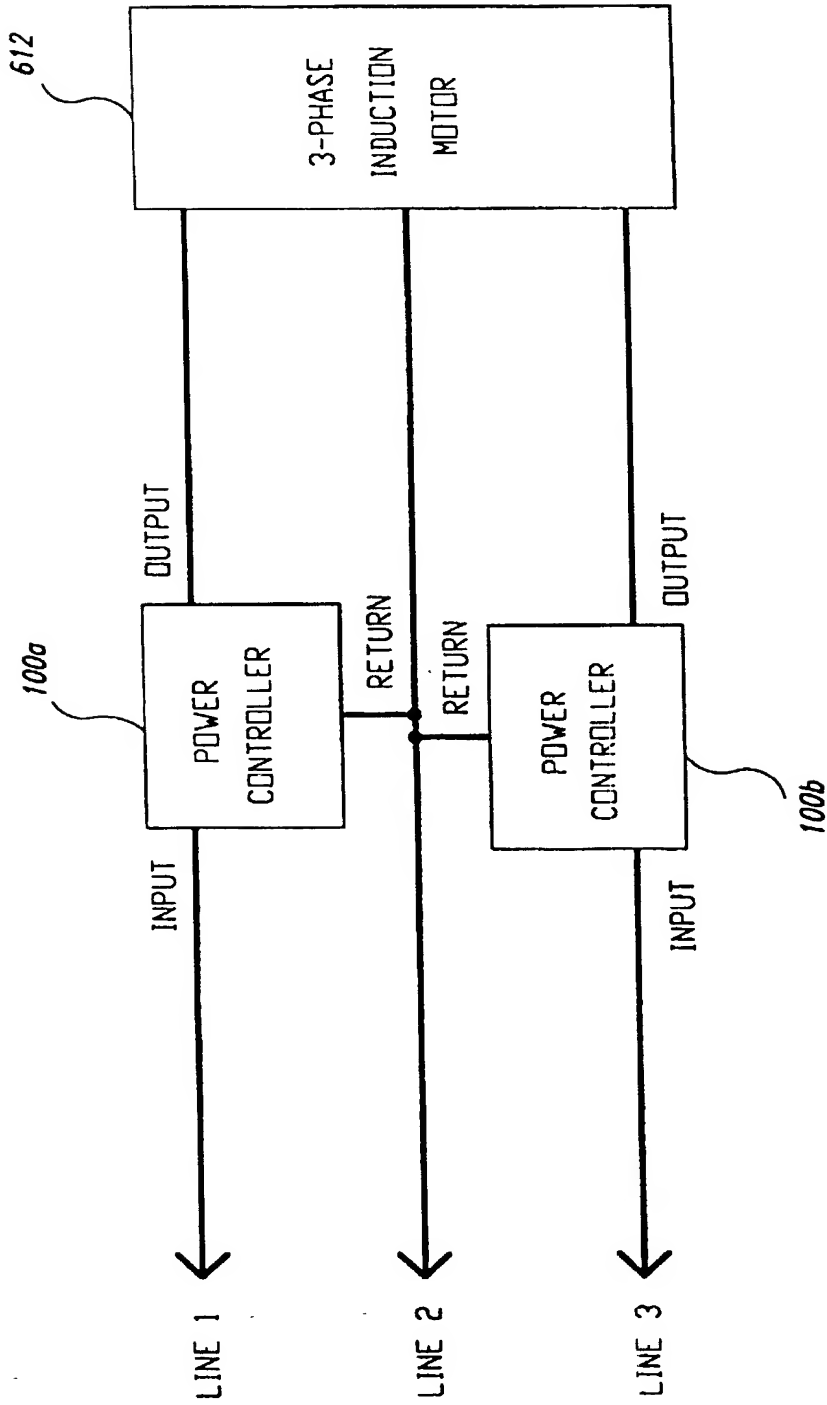
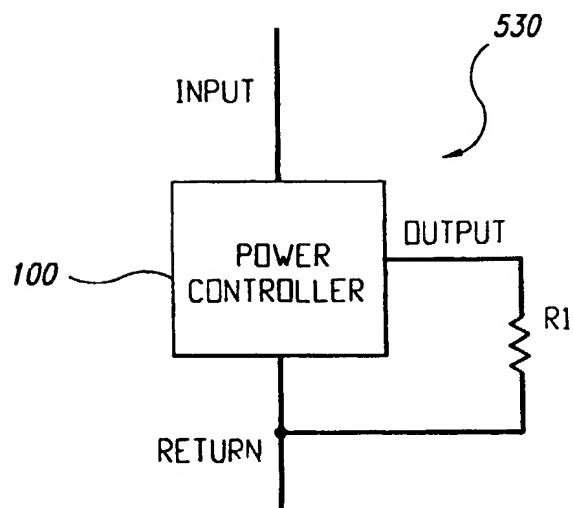


Fig. 12



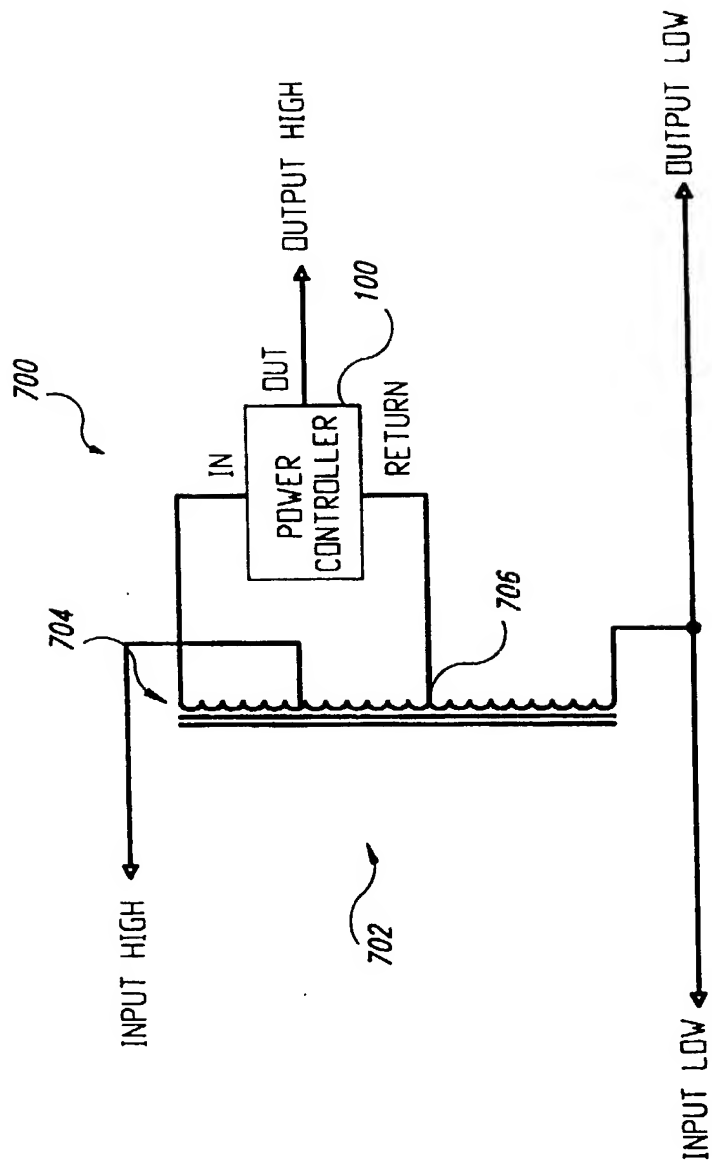


Fig. 17

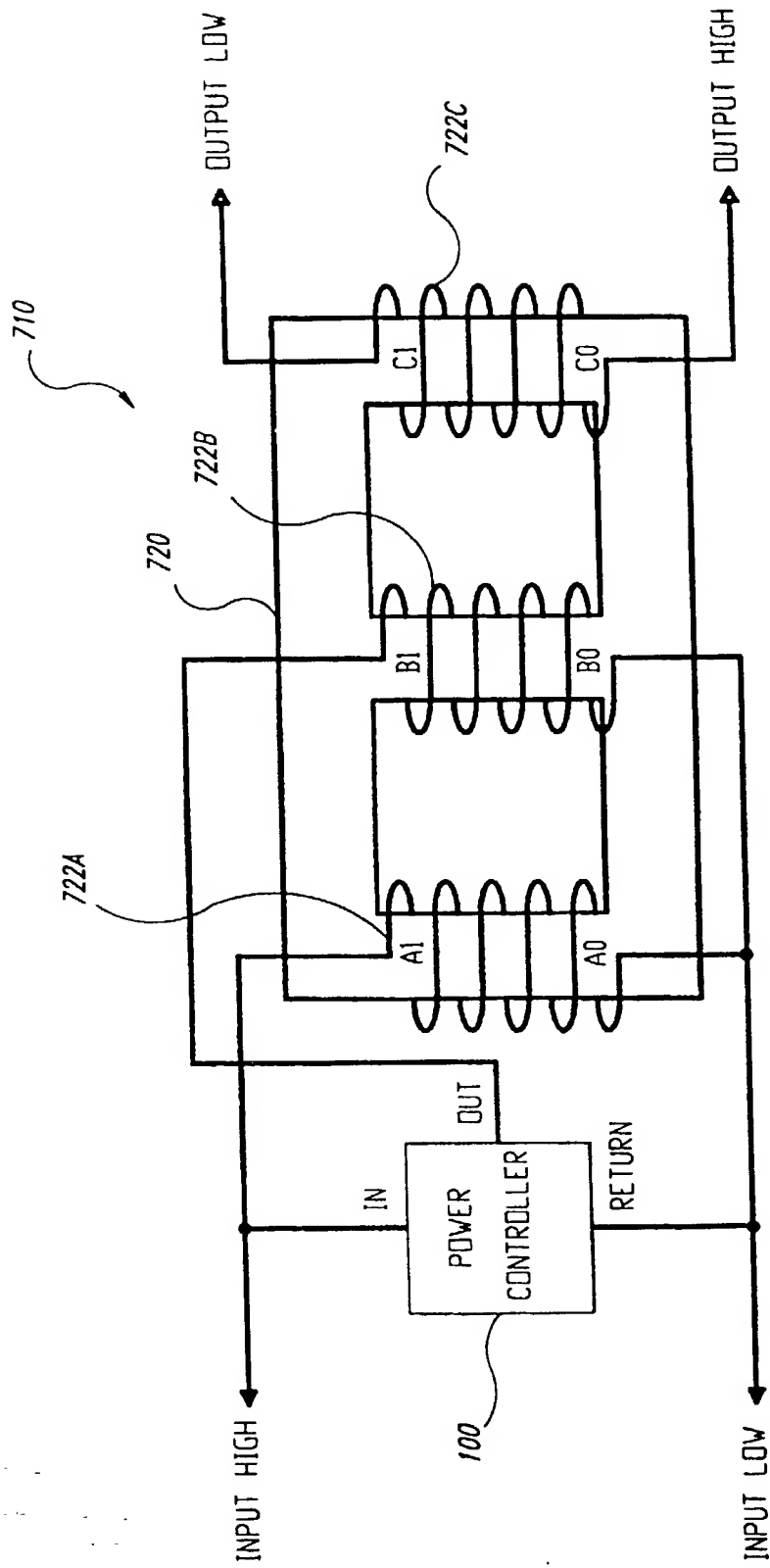


Fig. 18

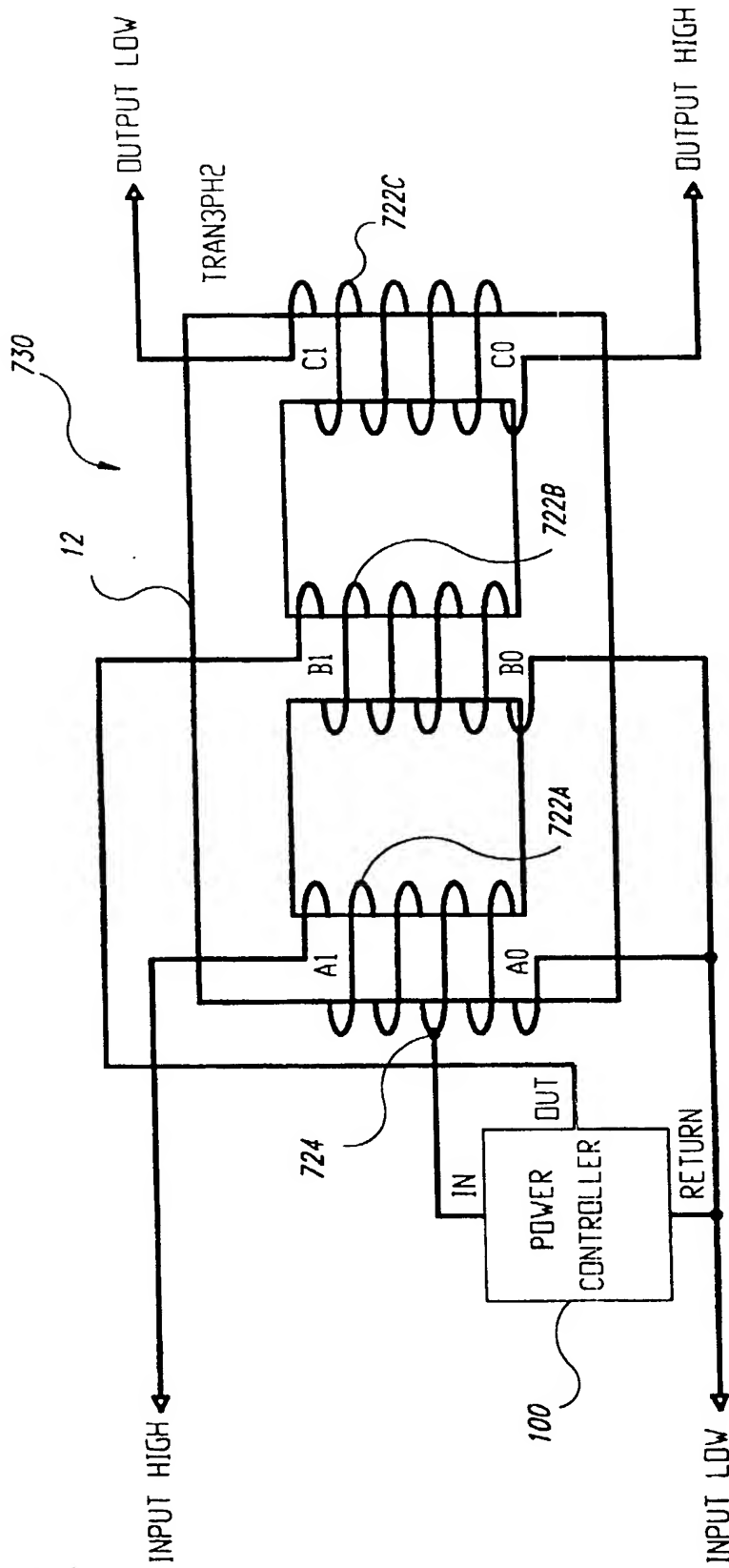


Fig. 19

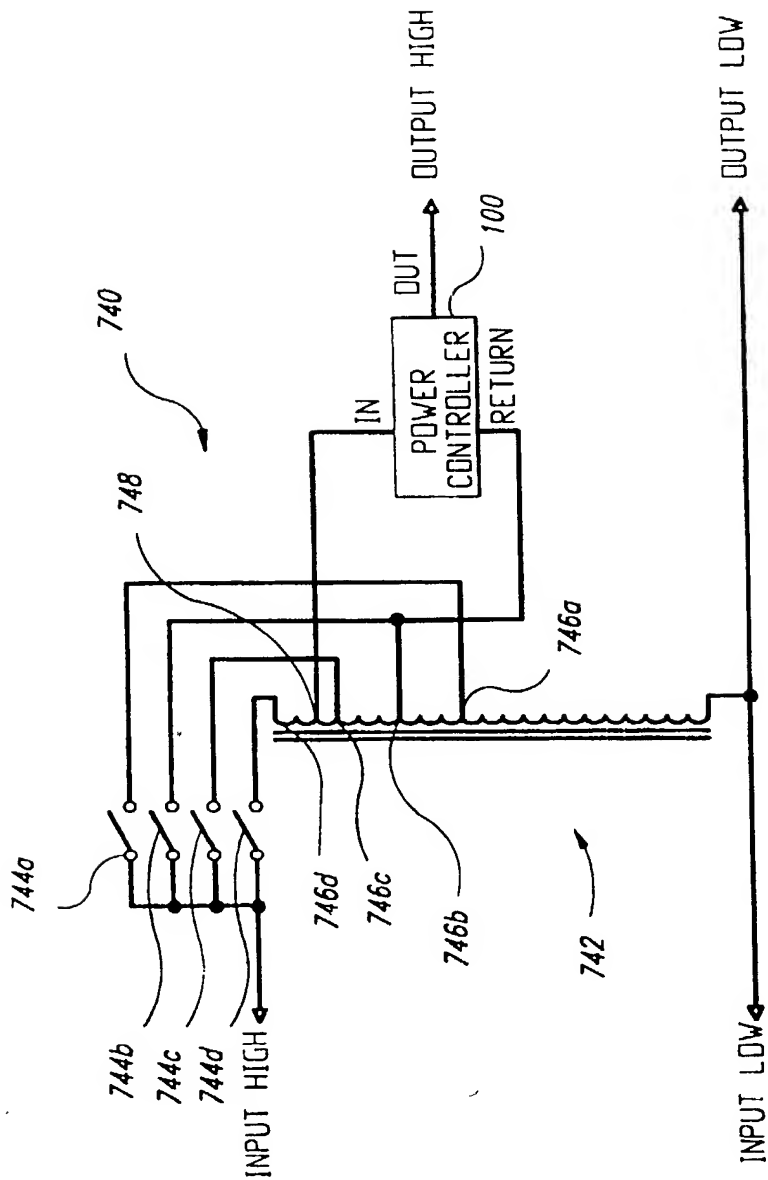


Fig. 20

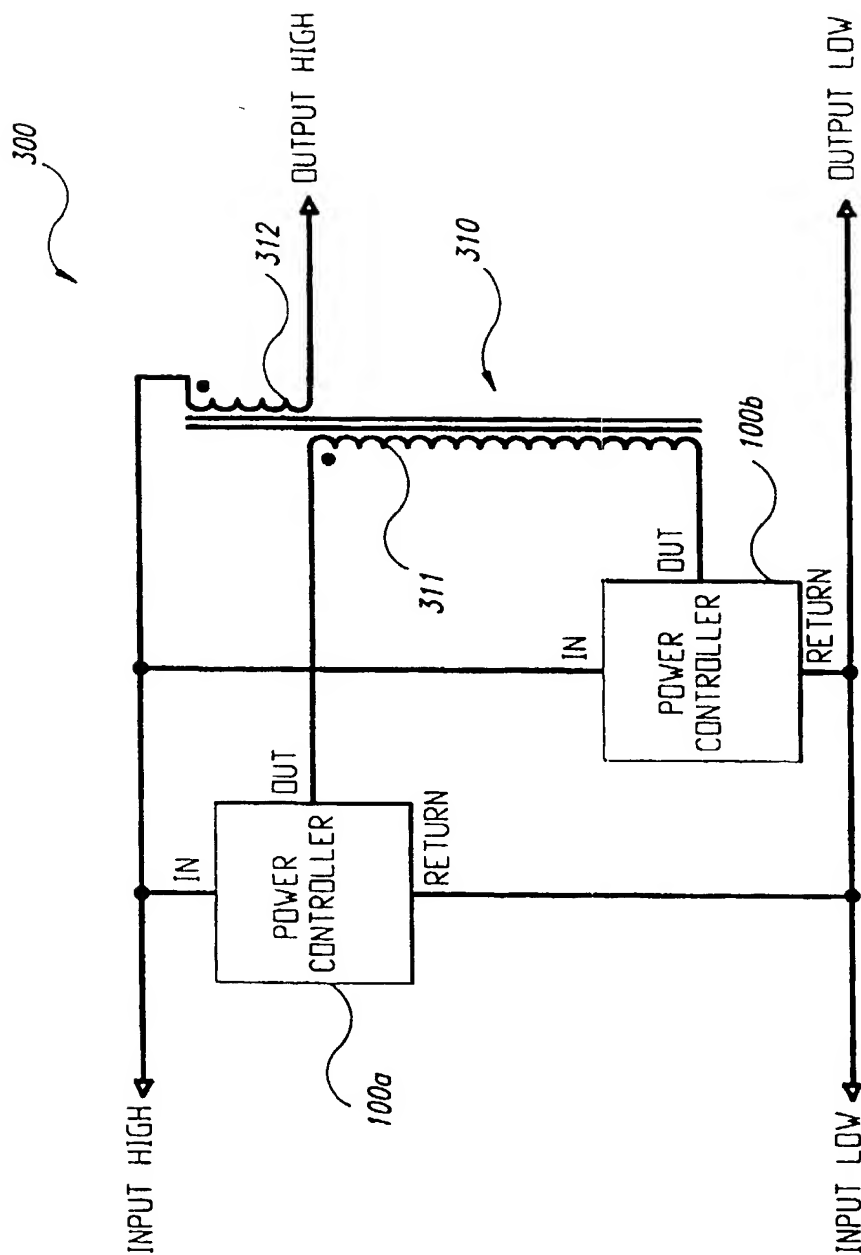


Fig. 22

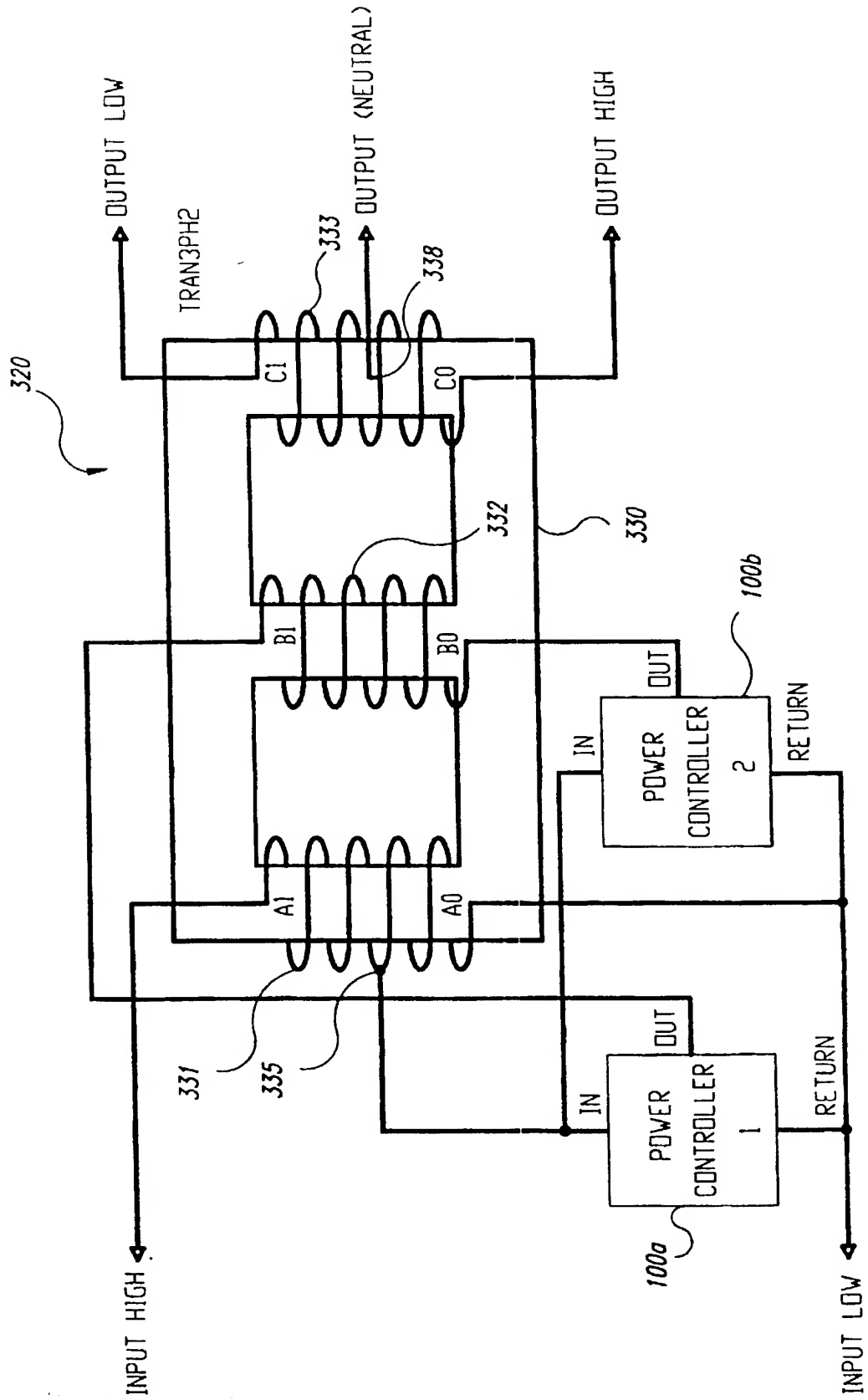


Fig. 23

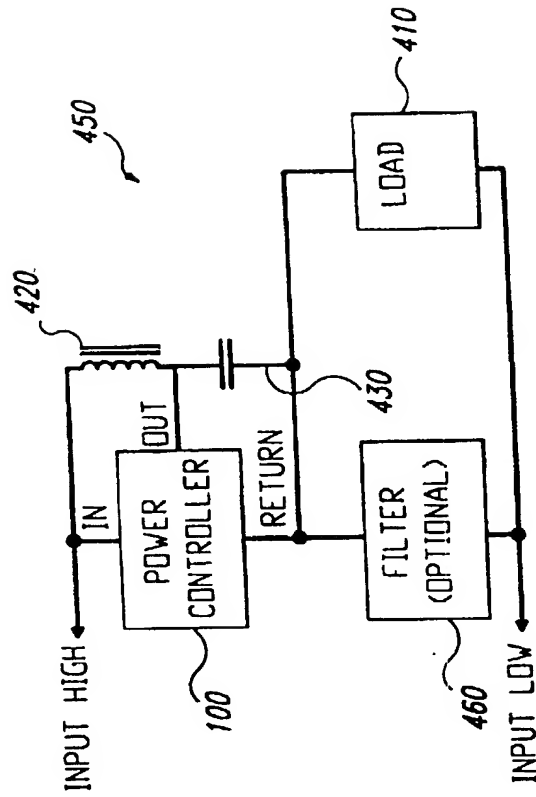


Fig. 25

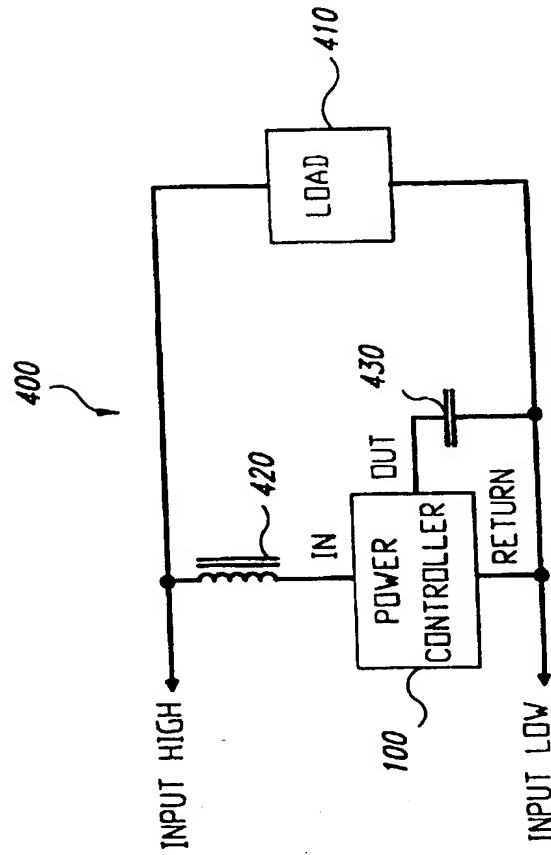


Fig. 24

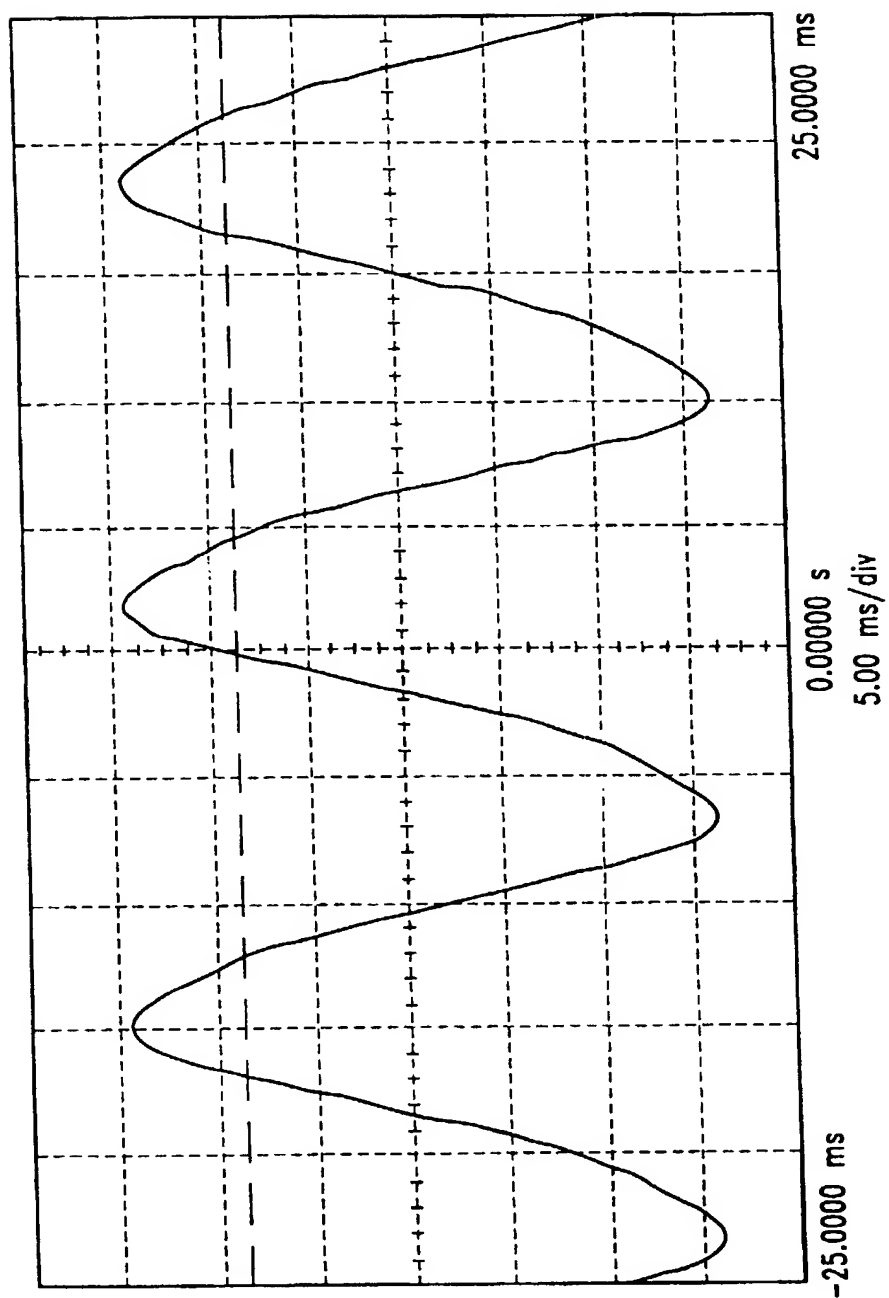


Fig. 26A

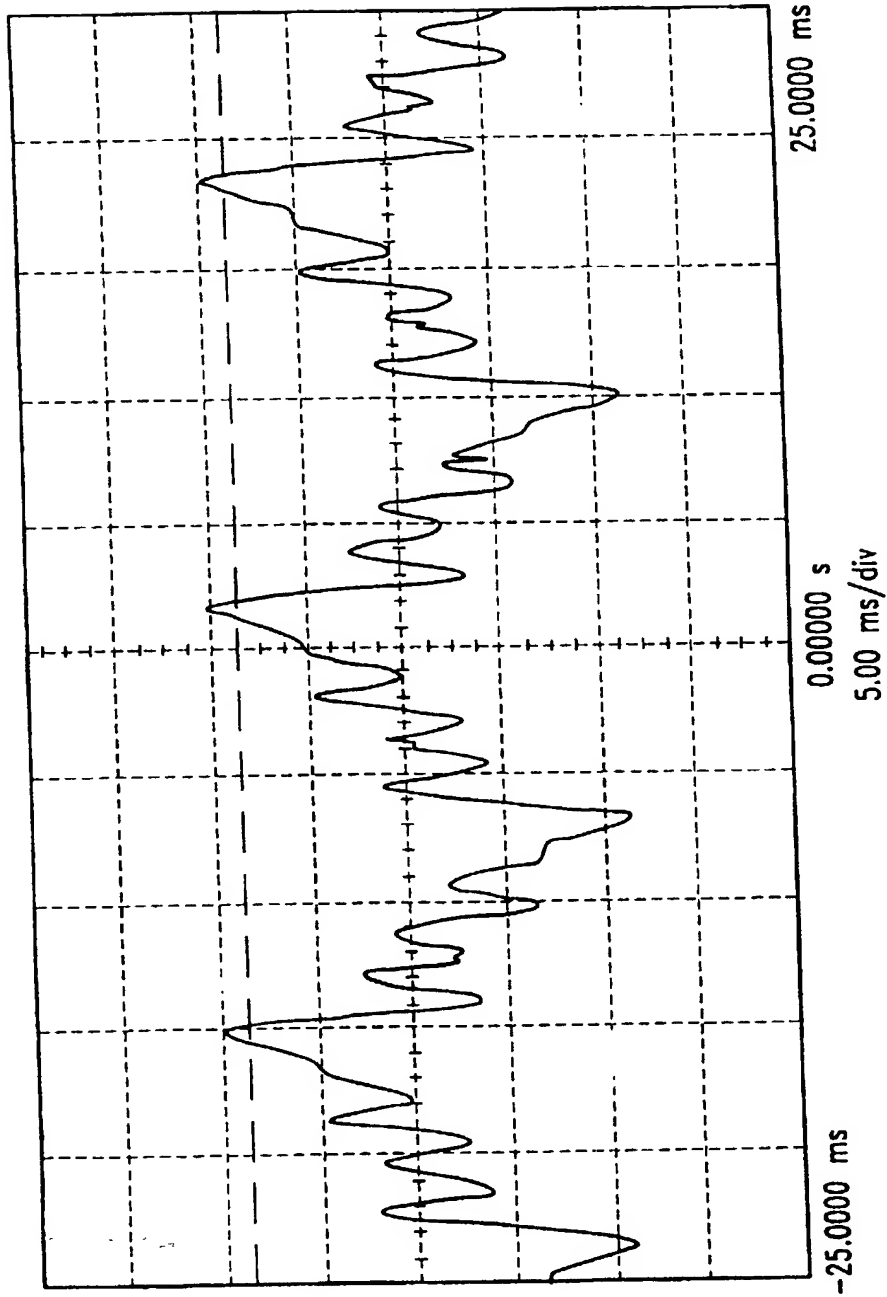


Fig. 26B

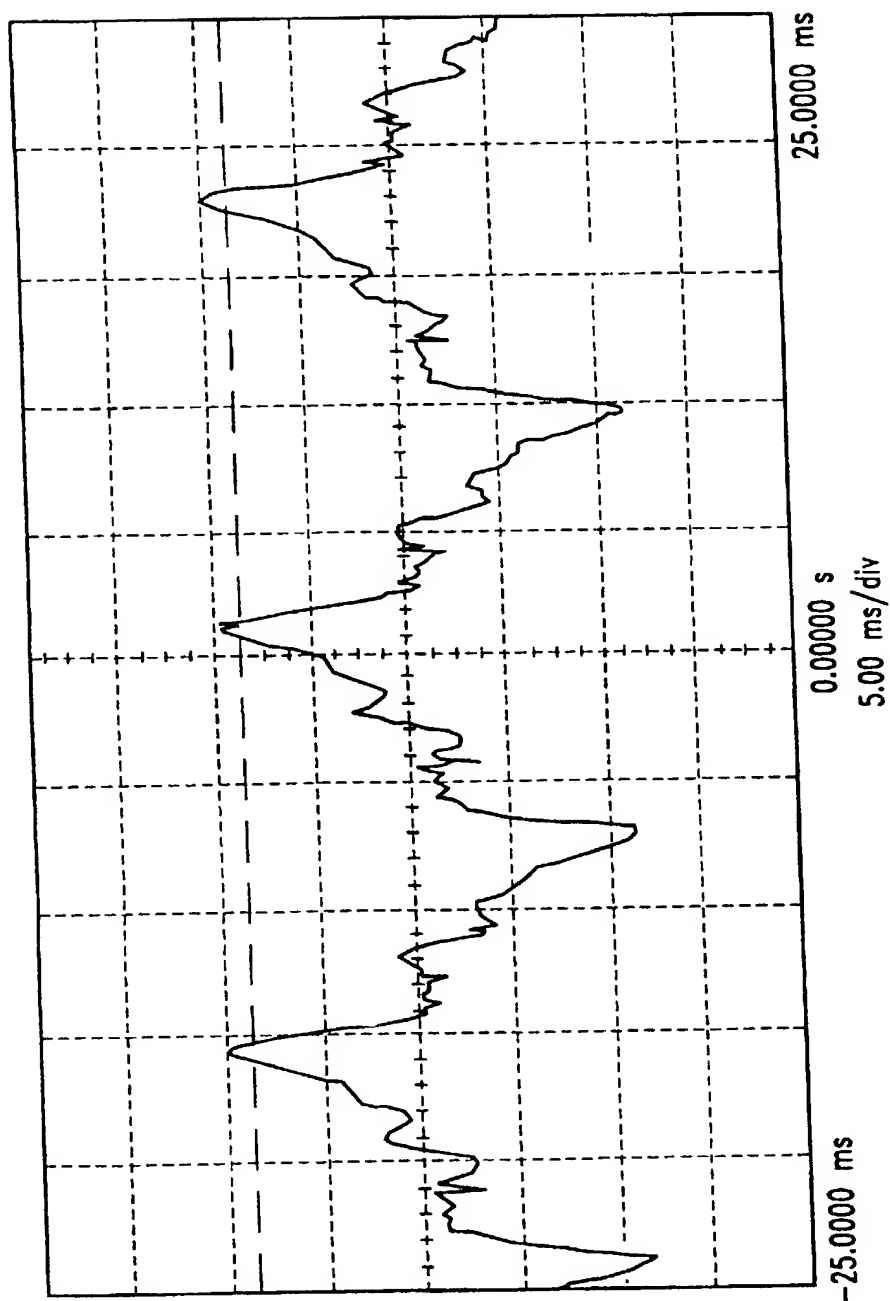


Fig. 26C

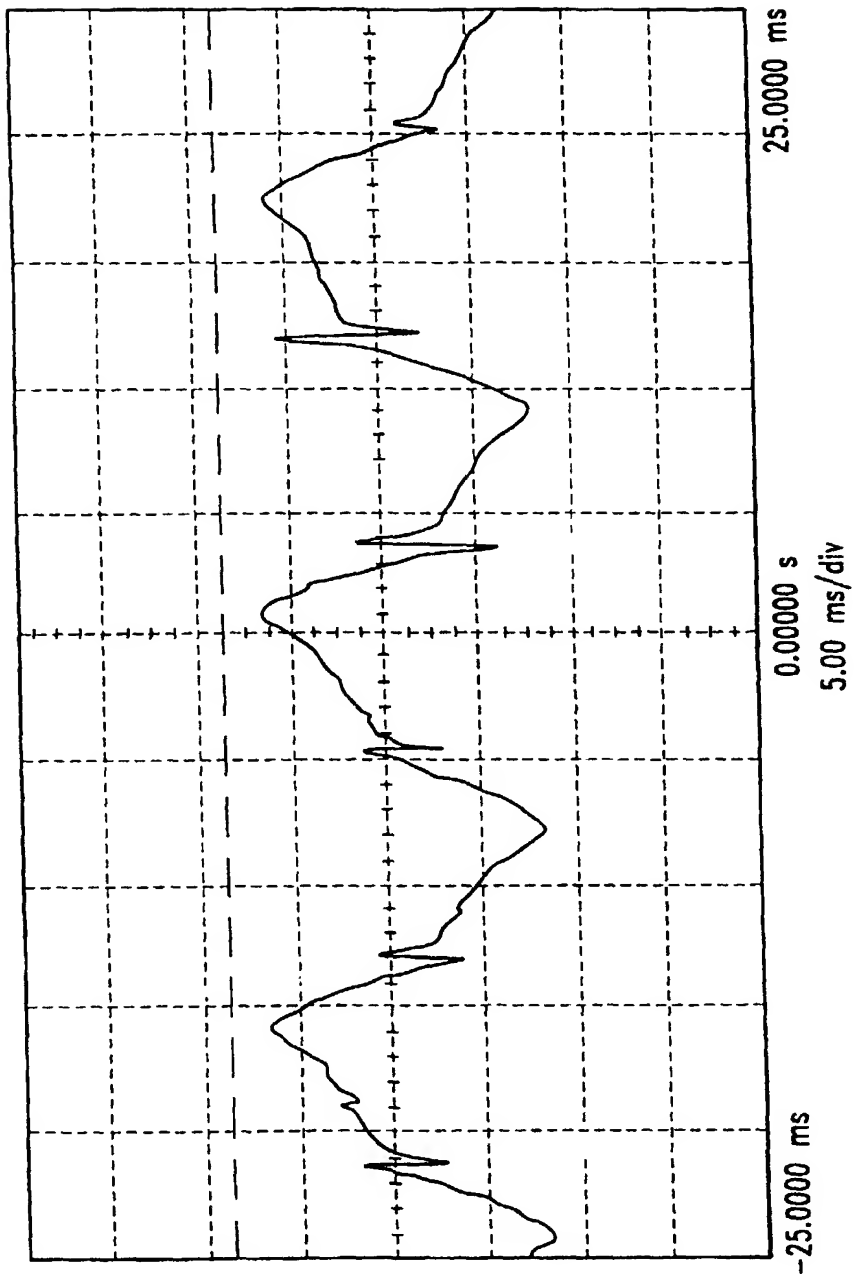


Fig. 26D

\sim

Fig. 26E

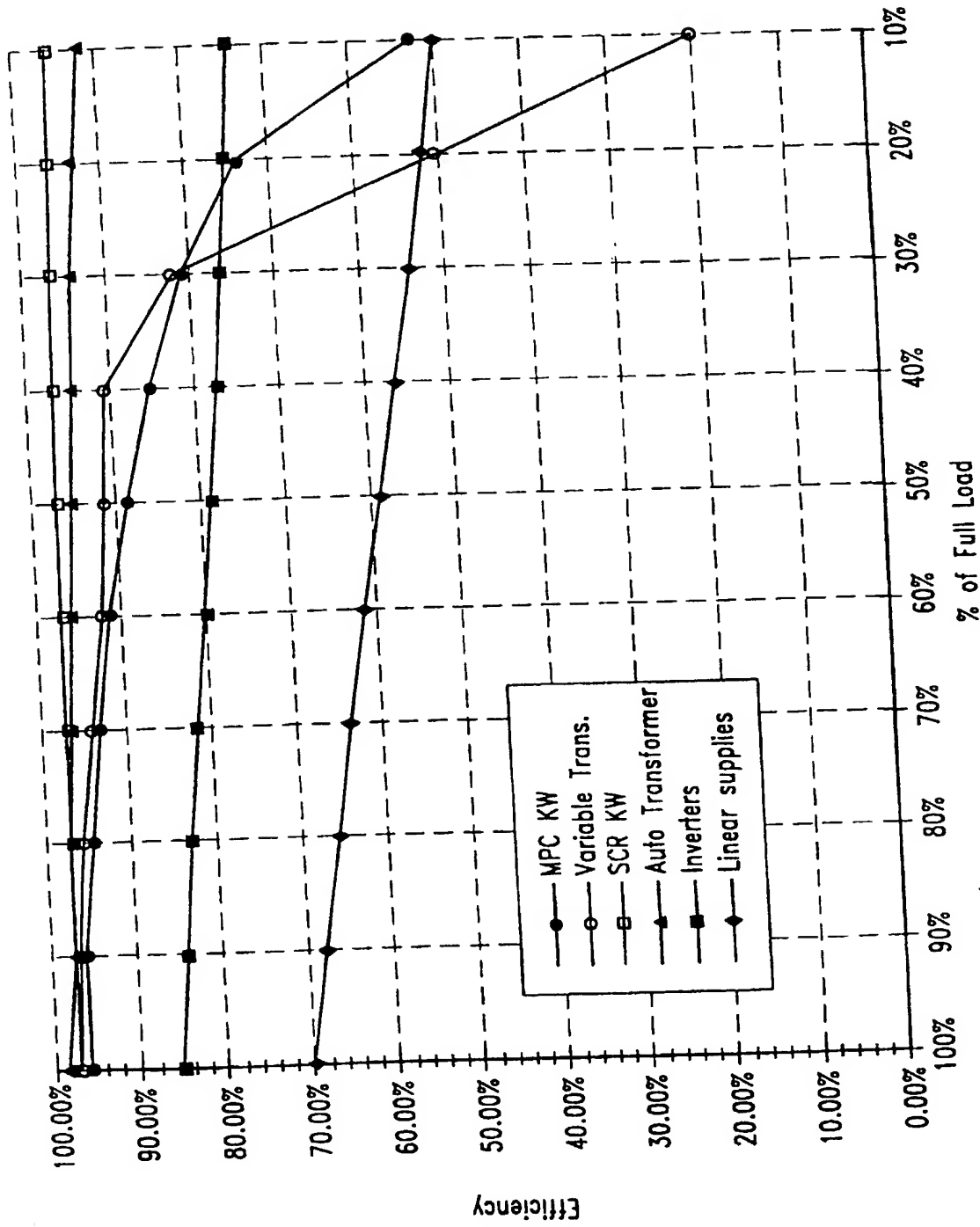


Fig. 28

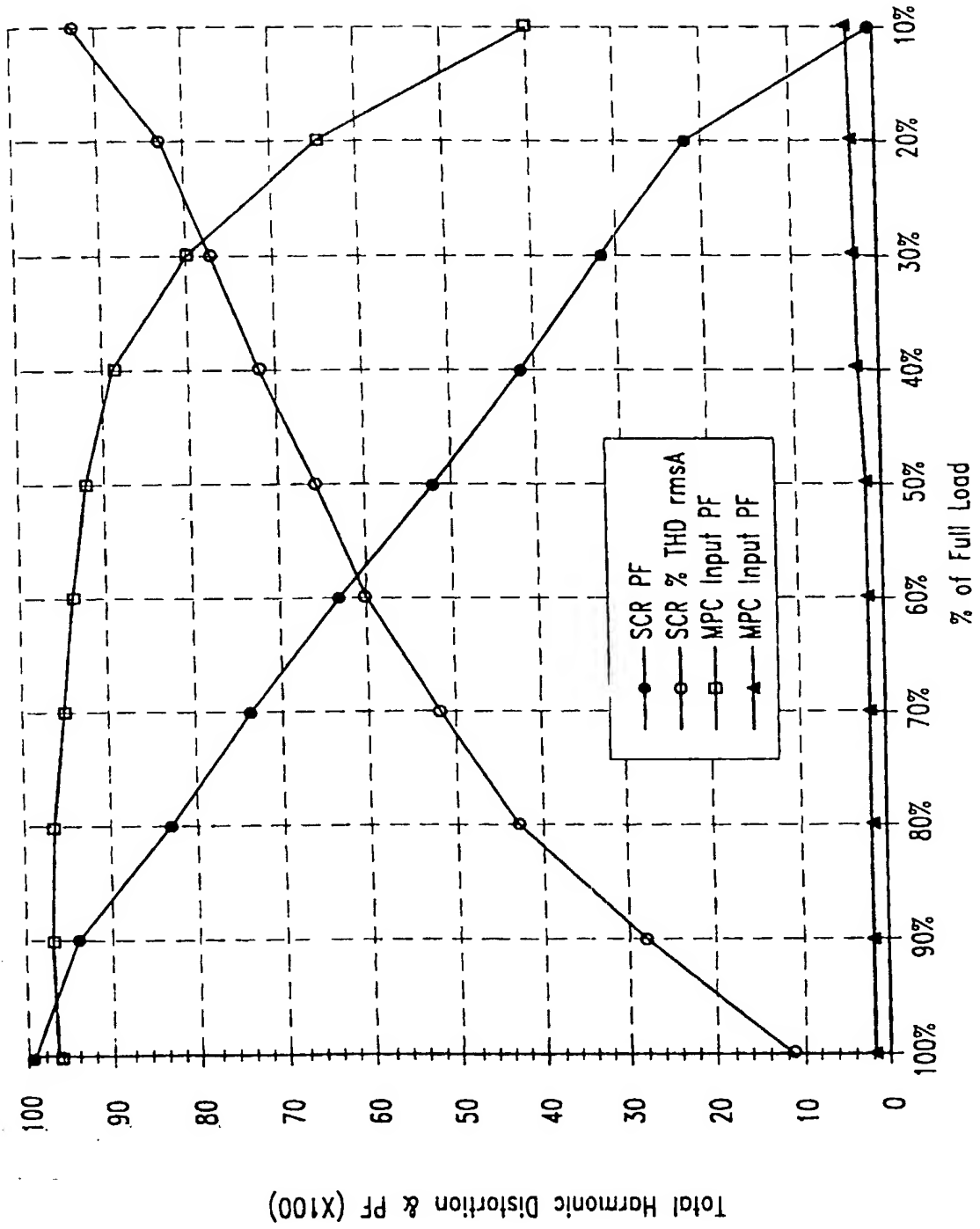


Fig. 29

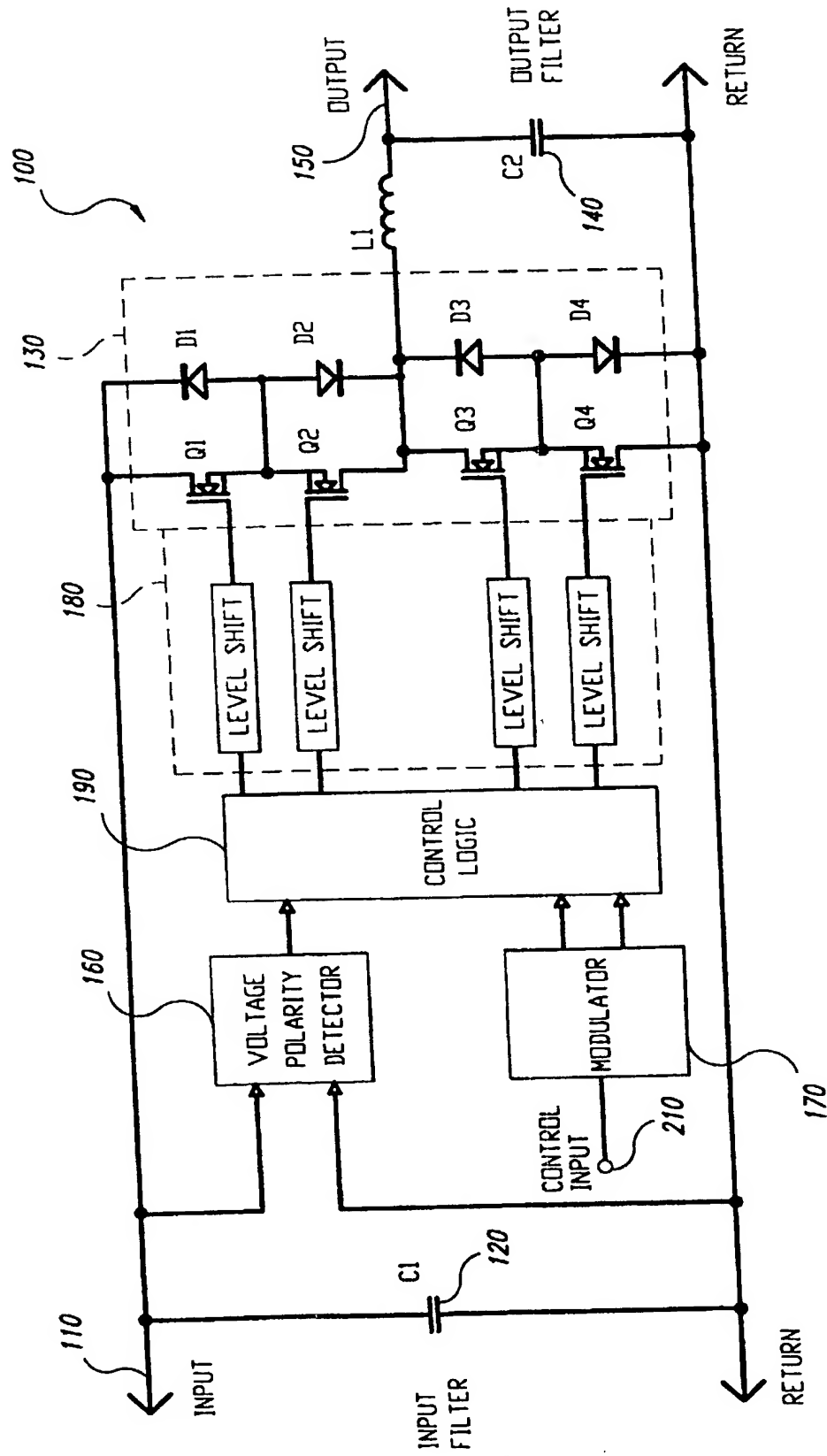


Fig. 30

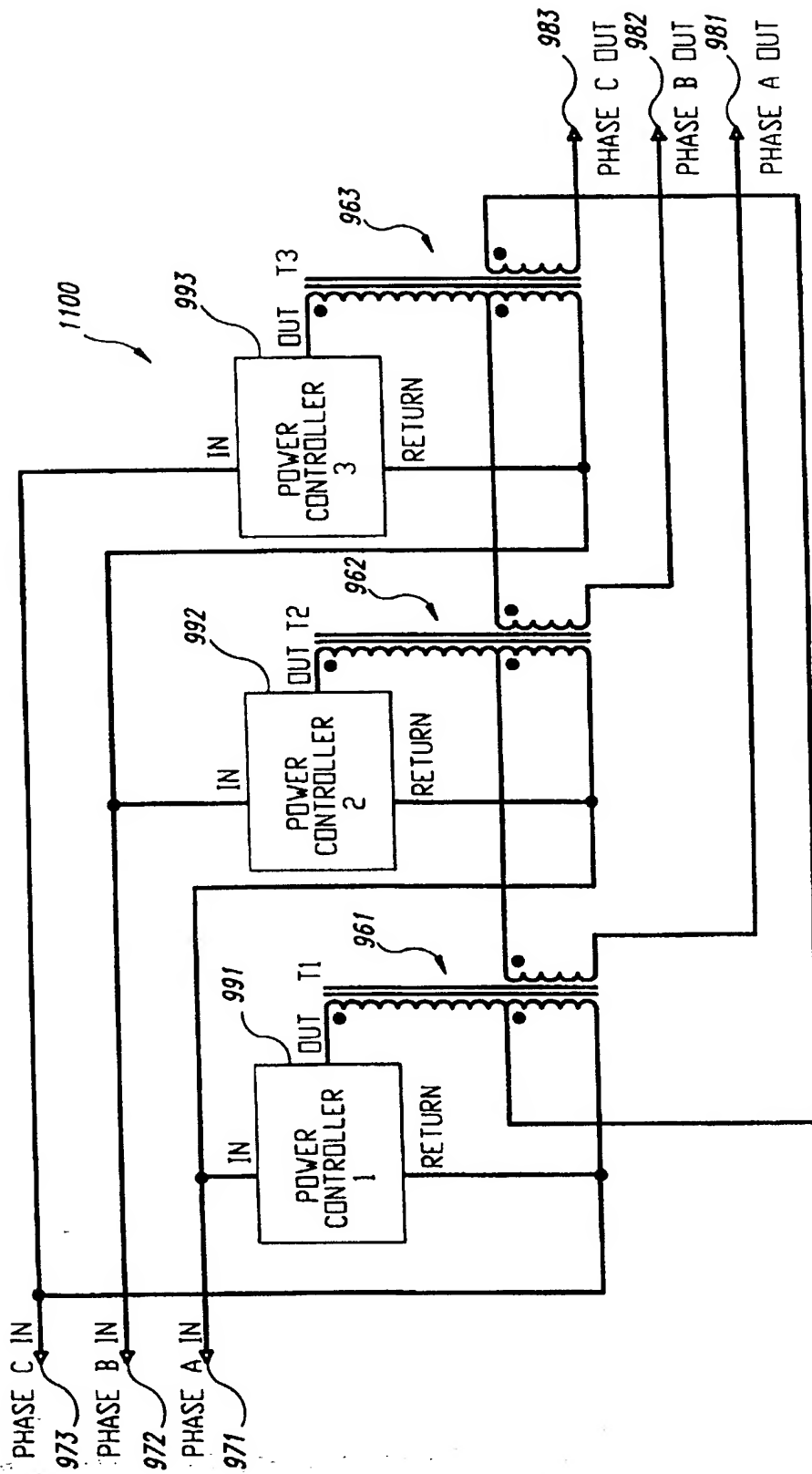


Fig. 31

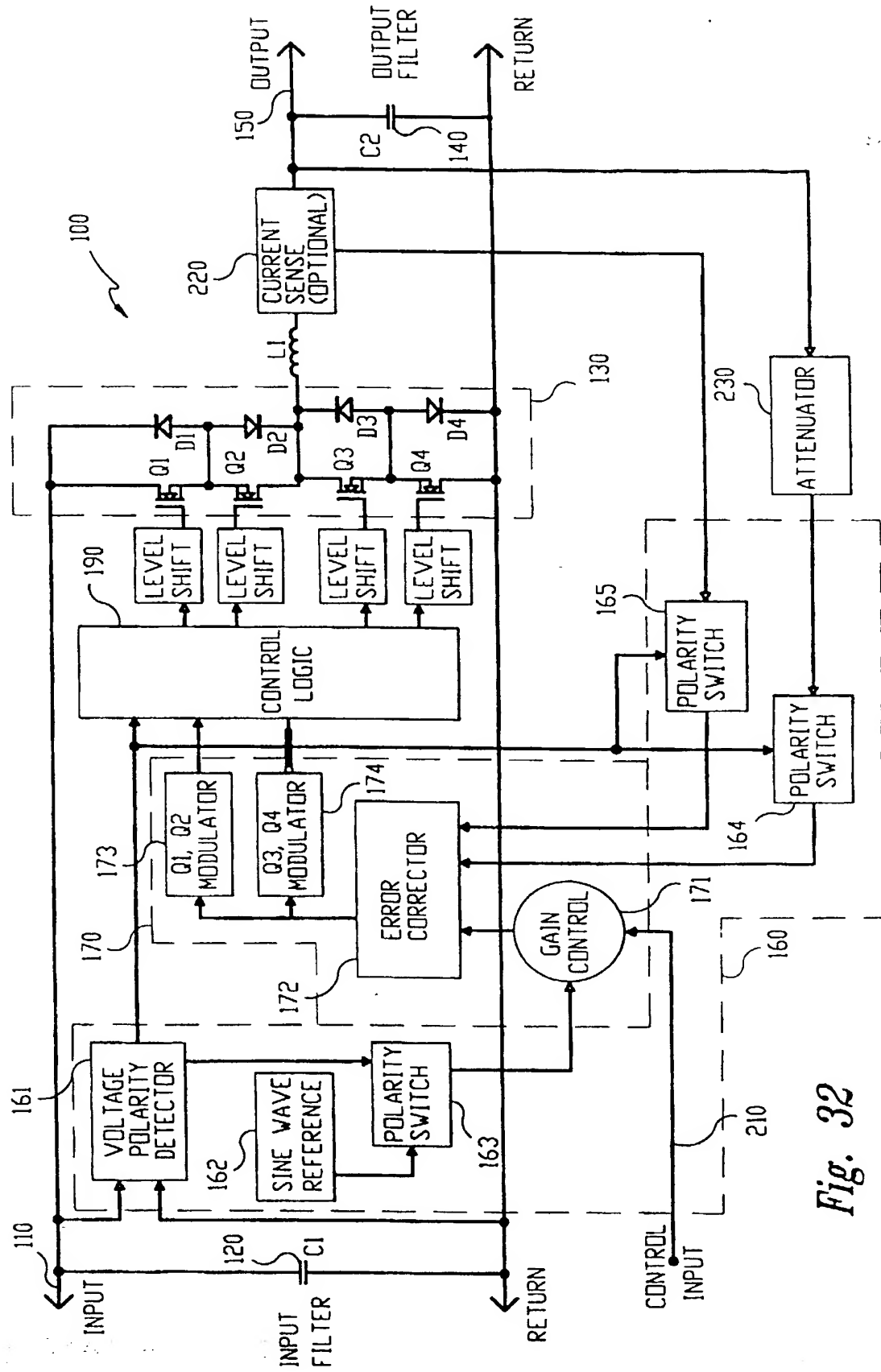
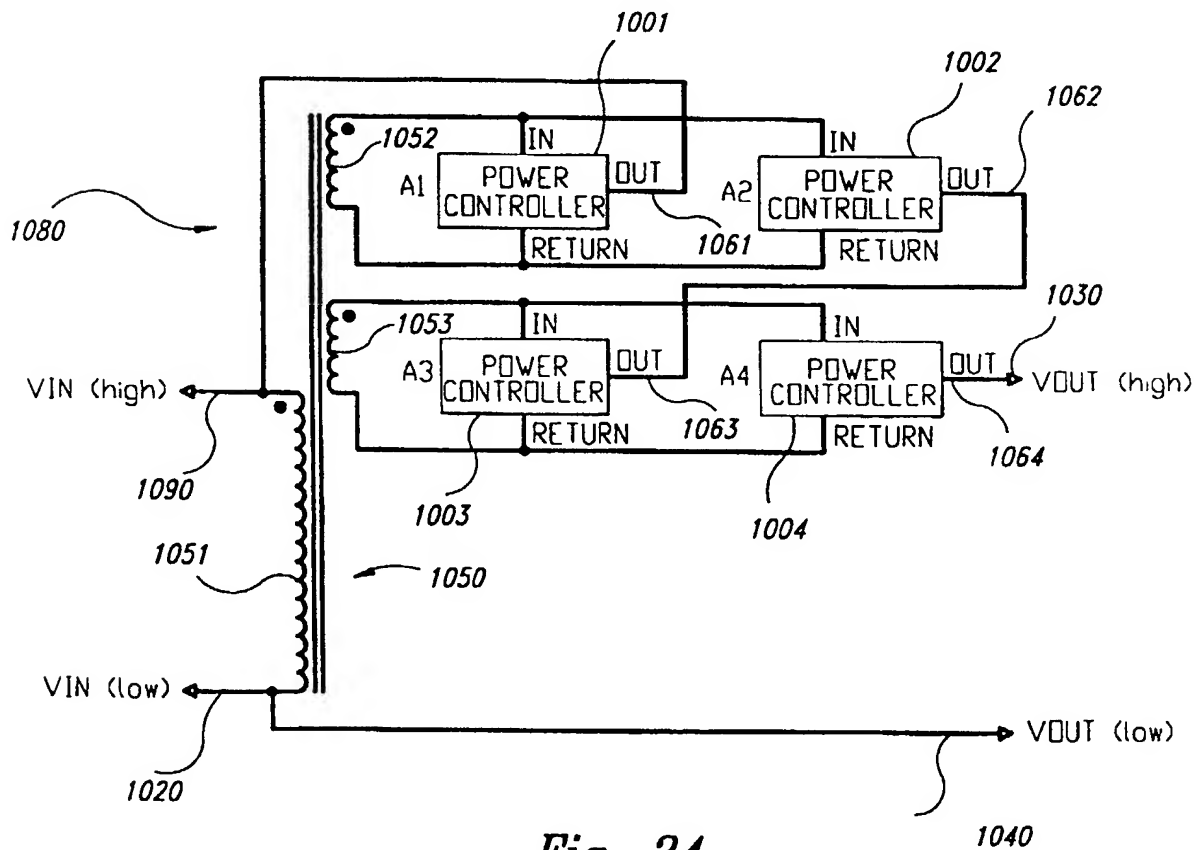
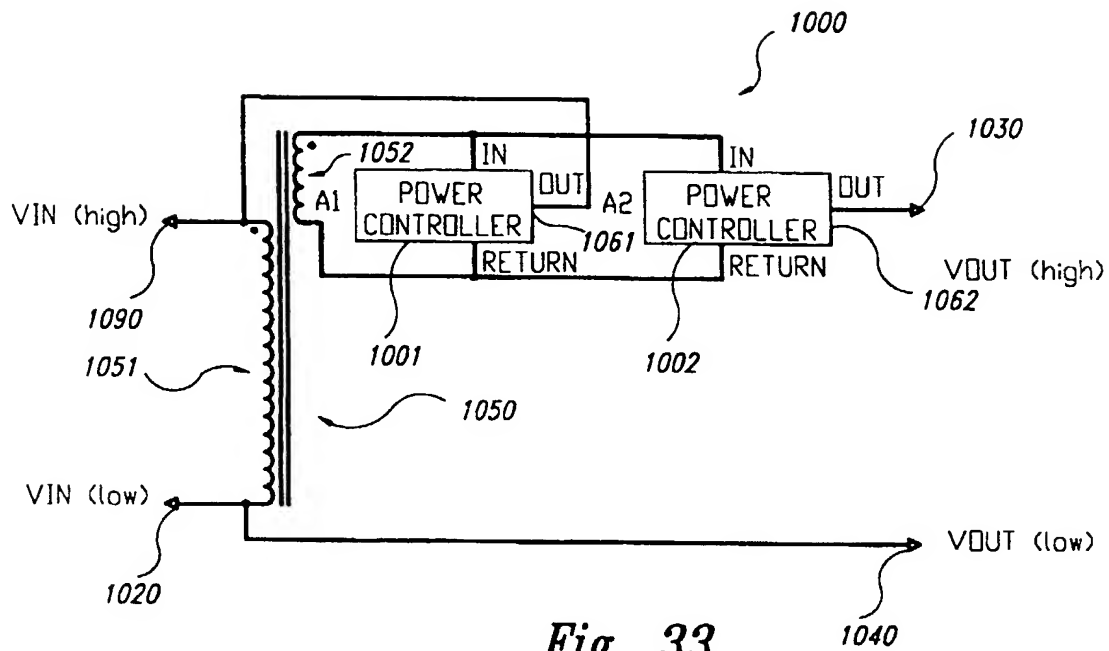


Fig. 32



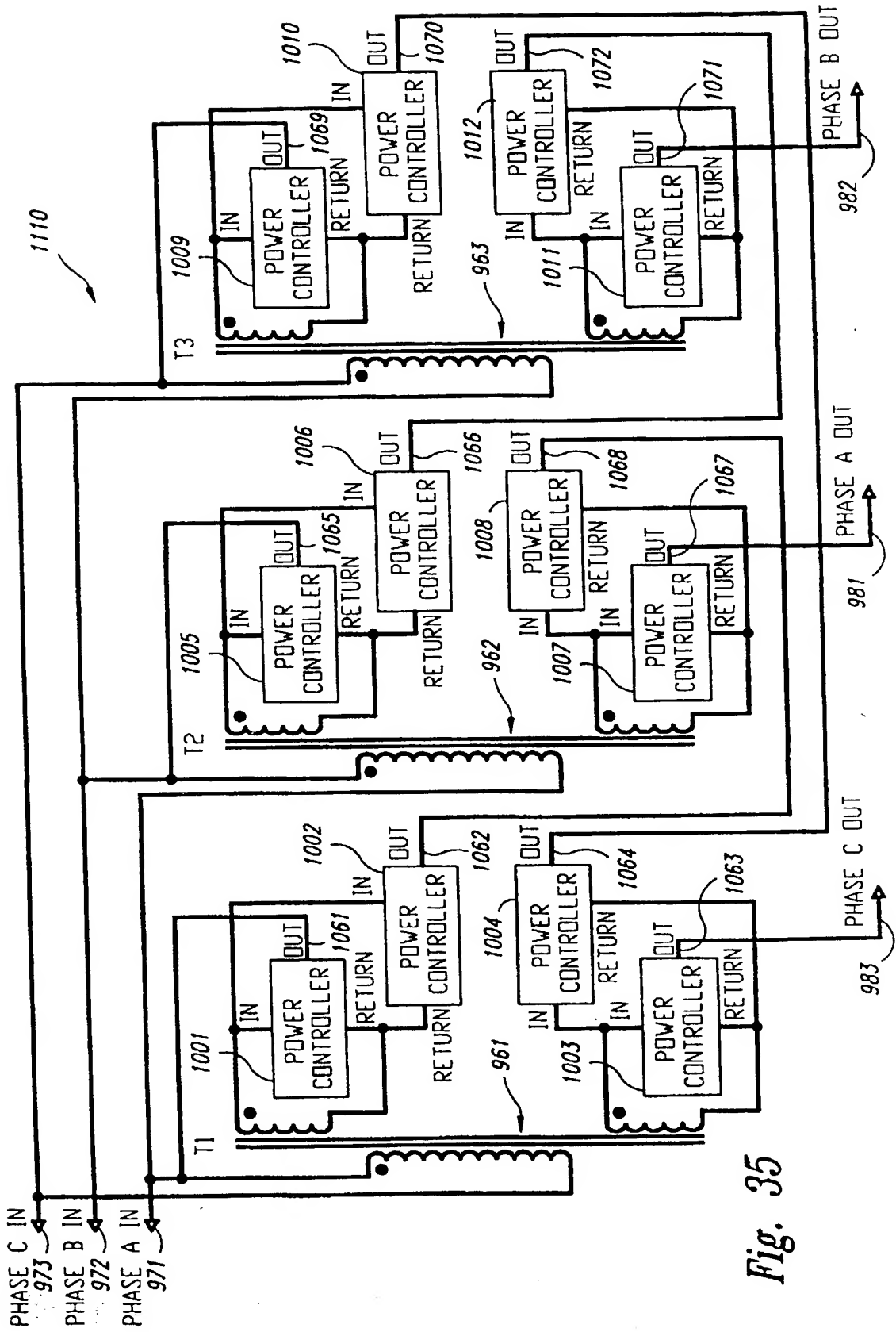


Fig. 35